



## RESEARCH ARTICLE

doi: 10.22067/econg.2023.80308.1062

OPEN ACCESS

## Adakitic magmatism, a window to evolution on tectonic and mineralization in eastern Iran

Saeed Saadat<sup>1\*</sup>

<sup>1</sup> Associate Professor, Department of Petroleum Engineering and Geology, Mashhad Branch, Islamic Azad University, Mashhad, Iran

### ARTICLE INFO

#### Article History

Received: 31 December 2022  
 Revised: 29 January 2023  
 Accepted: 01 February 2023

#### Keywords

adakite  
 subduction  
 mineralization  
 Lut  
 eastern Iran

### ABSTRACT

In this research, geochemical data from 314 samples of volcanic and intrusive rocks with adakitic or adakite-like affinity reported from eastern Iran have been studied, these rocks are often known with  $\text{Sr} > 400 \text{ g/ton}$  and  $\text{Y} < 18 \text{ g/ton}$ . By comparing and analyzing the characteristics of these adakites, it is concluded that: (1) The adakite rocks of eastern Iran are mainly high silica adakites; (2) High-silica adakitic rocks in northeastern Iran have lower  $\text{MgO}$ ,  $\text{Th}$ , and  $\text{Th/Ce}$  and relatively higher  $\text{Cr}$ ,  $\text{Ni}$ , and  $\text{SiO}_2$  contents than other adakites in eastern Iran, indicating their connection with the subduction zone and melting of the oceanic crust, while the adakitic rocks of southeastern Iran with lower  $\text{SiO}_2$  content and higher  $\text{MgO}$ ,  $\text{Sr}$ , and  $\text{Th/Ce}$  are categorized as post-collision adakites mainly formed from melting of the thickened lower crust; (3) Most of the adakites in the central parts (eastern Iran) were formed from the melting of the thickened lower crust after the collision, from an amphibolite garnet source, and the ratios of  $\text{Sr/Nb}$ ,  $\text{Ba/Nb}$  and  $\text{La/Nb}$  of adakites decreases towards the northeast in this section; 4) The analyzed data and the results presented in this research show that the adakites of eastern Iran have characteristics associated with mineralization and often have the necessary potential to play a role in the formation of valuable reserves.

#### \*Corresponding author

Saeed Saadat  
 ✉ [saeed.saadat@colorado.edu](mailto:saeed.saadat@colorado.edu)

#### How to cite this article

Saadat, S., 2023. Adakitic magmatism, a window to evolution on tectonic and mineralization in eastern Iran. *Journal of Economic Geology*, 15(1): 87–113. (in Persian with English abstract) <https://doi.org/10.22067/econg.2023.80308.1062>



©2023 The author(s). This is an open access article distributed under the terms of the Creative Commons Attribution (CC BY 4.0), which permits unrestricted use, distribution, and reproduction in any medium, as long as the original authors and source are cited. No permission is required from the authors or the publishers.

## EXTENDED ABSTRACT

### Introduction

The term adakite refers to volcanic and intrusive rocks that have more than 56%  $\text{SiO}_2$ , more than 15%  $\text{Al}_2\text{O}_3$ , and usually less than 3%  $\text{MgO}$  by weight, high  $\text{Na}_2\text{O}$  content (3.5–7.5 %), and low ratio of  $\text{K}_2\text{O}/\text{Na}_2\text{O} (<0.5)$  (Defant and Drummond, 1996; Martin, 1999; Martin et al., 2005; Condie, 2005; Castillo, 2012). Adakites are divided into (1) a high-  $\text{SiO}_2$  adakite (HSA) and (2) a low- $\text{SiO}_2$  adakite (LSA). The HSA have >60 wt.%  $\text{SiO}_2$ , low  $\text{MgO}$  (0.5–4 wt.%),  $\text{CaO} + \text{Na}_2\text{O}$  contents <11 wt.% and Sr abundances <1100 ppm. In contrast, the LSA have <60 wt.%  $\text{SiO}_2$ , higher  $\text{MgO}$  (4–9 wt.%),  $\text{CaO} + \text{Na}_2\text{O}$  contents >10 wt.% and Sr contents 1000–3000 ppm (Martin et al., 2005).

The studied area in the eastern part of Iran (Figure 1-A) includes a large part of the structural zones in the south and east, including the Lut block, Makran arc, the Sistan suture and Binaloud. This region is a part of the extensive magmatism that has spread from Turkey to Pakistan and had numerous magmatic activities over time, especially from the Cretaceous to the Quaternary.

Adakitic series have received special attention in recent years in Iran and some articles have been published by various researchers. The main goal of this research is to review the published articles and documents related to the geochemical and isotopic characteristics of adakites in eastern Iran, in order to open a window for a better understanding of the relationship between adakite magmatism and magmatic-tectonic evolution and porphyry copper ± gold mineralization in the east of Iran.

### Materials and methods

Geochemical data of 314 samples of volcanic and intrusive rocks with adakitic nature were collected from eastern Iran. The location of the studied areas and a summary of data and references is presented in Figure 1 and Table 1. In this study, acidic and intermediate rocks (volcanic and intrusive) with adakitic characteristics were studied and mafic rocks such as basalt and samples with high LOI (above 3%) were not considered in the database (Figure 2-A, B).

### Result

Volcanic and sub-volcanic adakitic rocks have been reported from Sabzevar, Neishabur and Quchan

regions (Table 1, Figure 1-B). These rocks are mainly dacite to trachyandesite and andesite with calc-alkaline to high K- calc-alkaline affinity. Rocks with adakitic nature in central part of eastern Iran are reported from the areas of Garjagan, Khosuf, Shurab, Fadeshk, Pironj, Gurung, Shah Suleiman Ali, Sang-Rahuzag, Shadan, and Tighnab (Figure 1-C and Table 1). According to the chemical classification diagram (Middlemost, 1994), the composition of volcanic rocks is mainly dacite, rhyodacite, andesite and trachyandesite and intrusive rocks are mainly diorite, granodiorite and granite (Figure 2-A, B). They are mostly calc-alkaline to high-K calc-alkaline, sometimes shoshonite (Figure 5-A) and meta-aluminous affinity.

Southern part include adakitic rocks from Lar, Malek Siah Kuh, Lakhshak, Chah Serbi, Shaheswaran, Taftan and Karvander areas (Table 1 and Figure 1-D). The volcanic rocks of the southern part are mainly dacite to andesite (Figure 2-A) and the intrusive rocks are mainly diorite and gabbrodiorite (Figure 2-B). These rocks have the characteristics of calc-alkaline with high-K to and meta-aluminous affinity.

### Discussion

Based on the data presented in this study, it is clear that the adakite rocks of eastern Iran are mainly high silica adakites. These rocks in northeastern Iran have lower  $\text{MgO}$ , Th, Th/Ce and relatively higher Cr, Ni, and  $\text{SiO}_2$  contents than other adakites in eastern Iran, which indicate their connection with the subduction zone and melting of the oceanic crust.

The adakitic rocks of southeastern Iran with lower  $\text{SiO}_2$  content and more  $\text{MgO}$ , Sr, and Th/Ce are in the range of post-collision adakites, which are mainly formed from melting of the thickened lower crust.

Most of the adakites in the central parts (eastern Iran) were formed from the melting of the thickened lower crust after the collision, from an amphibolite garnet source.

Temporal-spatial relationship between adakites and porphyry copper deposits and/or epithermal gold-copper deposits is studied in many researches (e.g., Thiéblemont et al., 1997; Sajona and Maury, 1998; Li et al., 2011; Richards et al., 2012; Zhang et al., 2021). Porphyry mineralization in Iran mainly took place during the evolution of the branches of the Neo-Tethys Ocean and its final closure. The results

presented in this research illustrate the adakites of eastern Iran have characteristics associated with mineralization and often have the necessary potential to play a role in the formation of valuable reserves. Changes in La/Sm and Dy/Yb ratios in adakites are considered as a geochemical sign for mineralization potential. The ratios of ( $\text{La}_N/\text{Sm}_N$ ) and ( $\text{Dy}_N/\text{Yb}_N$ ) help to determine the fertile magmatism (with the participation of amphibole) from the barren (without amphibole) (Richards et al., 2012). Amphibole-dominated adakites are clearly associated with economic porphyry copper mineralization (e.g., Kheirkhah et al., 2020). In the studied adakites, the changes of  $\text{La}_N/\text{Sm}_N$  and  $\text{Dy}_N/\text{Yb}_N$  ratios are 1.7 to 10.7 (average 4.5) and 0.7 to 2.5 (average 1.2),

respectively. Based on these ratios, most of the studied adakites, except for some adakites that show changes in  $\text{La}_N/\text{Sm}_N$  ratios of less than 4 and  $\text{Dy}_N/\text{Yb}_N$  less than 1.1, have mineralization potential. The analyzed data and the results presented in this research yields that the adakites of eastern Iran have characteristics associated with mineralization and often have the necessary potential to play a role in the formation of valuable deposits. The distribution of copper-gold indices, and the outcrops of adakites along with magnetic anomalies (Figure 10-A), and crust thickness variations in eastern Iran (Figure 10-B), emphasize the importance of focusing on future prospecting, drilling and isotopic studies in this area.



OPEN ACCESS

doi: 10.22067/econg.2023.80308.1062

مقاله پژوهشی

## ماگماتیسم آداسکیتی، پنجراهی بر تحولات زمین‌ساختی و کانی‌سازی در شرق ایران

سعید سعادت<sup>۱</sup><sup>۱</sup> دانشیار، گروه مهندسی نفت و زمین‌شناسی، واحد مشهد، دانشگاه آزاد اسلامی، مشهد، ایران

اطلاعات مقاله	چکیده
تاریخ دریافت:	۱۴۰۱/۱۰/۱۰
تاریخ بازنگری:	۱۴۰۱/۱۱/۰۹
تاریخ پذیرش:	۱۴۰۱/۱۱/۱۲
<b>واژه‌های کلیدی</b>	آداسکیت، فورانش، کانی‌سازی، لوت، شرق ایران
آداسکیت	در این پژوهش، داده‌های زمین‌شیمیایی ۳۱۴ نمونه از سنگ‌های آتسفسانی و نفوذی با ماهیت آداسکیت یا شبه آداسکیت گزارش شده از شرق ایران مورد بررسی قرار گرفته است، این سنگ‌ها اغلب با محتوای $\text{SiO}_2$ بیشتر از ۴۰۰ گرم در تن و $\text{Y}$ کمتر از ۱۸ گرم در تن شناخته می‌شوند. با مقایسه و تجزیه و تحلیل ویژگی‌های این آداسکیت‌ها، مشخص می‌شود که: ۱) سنگ‌های آداسکیت شرق ایران اغلب از نوع آداسکیت‌های سیلیس بالا هستند. ۲) سنگ‌های آداسکیت سیلیس بالا در شمال شرق ایران در مقایسه با سایر آداسکیت‌های شرق ایران، دارای محتوای $\text{Th/Ce}$ , $\text{Th/MgO}$ , $\text{MgO}$ , $\text{Ni}$ , $\text{Cr}$ و $\text{SiO}_2$ نسبتاً بالاتری هستند که بیانگر ارتباط آنها با زون فورانش و ذوب کمتر و $\text{SiO}_2$ و $\text{Ni}$ پوسته اقیانوسی است؛ در حالی که سنگ‌های آداسکیت جنوب شرق ایران با محتوای $\text{SiO}_2$ کمتر و $\text{MgO}$ , $\text{Sr}$ و $\text{Th/Ce}$ بیشتر در محدوده آداسکیت‌های پس از برخورد قرار می‌گیرند که اغلب از ذوب پوسته زیرین ضخیم شده، ایجاد شده‌اند. ۳) اغلب آداسکیت‌ها در بخش‌های مرکزی (شرق ایران) از ذوب پوسته زیرین ضخیم شده پس از برخورد، از یک منبع گارنت آمفیبولیت شکل گرفته‌اند و نسبت‌های $\text{La/Nb}$ , $\text{Ba/Nb}$ , $\text{Sr/Nb}$ و $\text{Ce/MgO}$ آداسکیت‌ها در این بخش به سمت شمال شرق کاهش می‌یابد. ۴) داده‌های مورد بررسی و نتایج ارائه شده در این پژوهش نشان می‌دهد که آداسکیت‌های شرق ایران دارای ویژگی‌های همراهی با کانه‌زایی و اغلب توانایی لازم را برای نقش آفرینی در تشکیل ذخایر ارزشمند دارند.
نویسنده مسئول	سعید سعادت saeed.saadat@colorado.edu

استناد به این مقاله

سعادت، سعید. ۱۴۰۲. ماگماتیسم آداسکیتی، پنجراهی بر تحولات زمین‌ساختی و کانی‌سازی در شرق ایران. زمین‌شناسی اقتصادی، ۱۵(۱): ۸۷-۱۱۳.

<https://doi.org/10.22067/econg.2023.80308.1062>

## مقدمه

کمان مکران، زمین‌درز سیستان و بیتلود را در برمی‌گیرد. این منطقه بخشی از ماگماتیسم گستردگی است که از ترکیه تا پاکستان گسترش یافته و شاهد فعالیت‌های ماگمایی متعددی در طول زمان به ویژه از کرتاسه تا کواترنر بوده است. سری‌های آداسیتی در سالهای اخیر در ایران مورد توجه ویژه قرار گرفته و مقاله‌های با ارزشی توسط پژوهشگران مختلف منتشر شده است. هدف اصلی این پژوهش، مروری بر مقاله‌ها و مستنداتی منتشر شده در رابطه با ویژگی‌های زمین‌شیمیایی و ایزوتوپی آداسیت‌های شرق ایران، به منظور گشودن پنجره‌ای برای درک بهتر از ارتباط ماگماتیسم آداسیتی با تحولات ماگمایی – زمین‌ساختی و فرایندهای کانی‌سازی مس  $\pm$  طلای پورفیری در شرق ایران است.

### زمین‌شناسی

سنگ‌های آتشفسانی و نفوذی مافیک تا اسیدی واقع در شمال شرق ایران از قوچان تا نیشابور و سبزوار متعلق به رشته کوه البرز شرقی و بخشی از زون ساختاری بیتلود و سبزوار است (شکل ۱-B). سنگ‌های آتشفسانی اسیدی - حدوداً این ناحیه اغلب ریولیت، داسیت، آندزیت و تراکی آندزیت هستند. بر اساس سن‌سنجی به روش K-Ar ماگماتیسم اسیدی در این مناطق در چندین مرحله رخداده که از  $1/6 \pm 1/7 \pm 31/7 \pm 0/08$  تا  $2/29 \pm 0/08$  میلیون سال قبل متغیر است (Ghasemi et al., 2010) و به طور قابل توجهی جوان تر از بیشتر ماگماتیسم‌های برخوردي در سایر مناطق فلات ترکیه - ایران هستند (Pang et al., 2013).

بلوک لوت در شرق ایران، در بین صفحه‌های عربستان، اوراسیا و هند قرار دارد و از شمال، جنوب و شرق توسط افیولیت‌ها و آمیزه‌های رنگی افیولیتی احاطه شده است (شکل ۱-C). ماگماتیسم گستردگی این منطقه اغلب شامل داسیت، آندزیت، دیبوریت، گرانیت و دیبوریت است و از نظر سنی محدوده ژوراسیک پسین تا نئوژن / کواترنر را در برمی‌گیرد (Karimpour et al., 2011). زمین‌درز سیستان<sup>۹</sup> در شرق تا جنوب شرق ایران بخشی از سامانه کوه‌زایی نتویس است که بین بلوک لوت (در غرب) و بلوک افغان (در شرق) واقع شده و از جنوب به رشته کوه‌های مکران

واژه آداسیت به سنگ‌های آتشفسانی و نفوذی اطلاق می‌شود که از نظر ترکیب اسیدی تا حدود است، دارای بیش از ۵۶ درصد وزنی  $\text{SiO}_2$ ، بیش از ۱۵ درصد وزنی  $\text{Al}_2\text{O}_3$ ، معمولاً کمتر از ۳ درصد وزنی  $\text{MgO}$ ، محتوای  $\text{Na}_2\text{O}$  زیاد ( $7/3$  تا  $5/5$  درصد وزنی) و نسبت  $\text{K}_2\text{O}/\text{Na}_2\text{O}$  کم ( $0/5 < 0/5$ ) هستند. محتوای  $\text{Y}$  کمتر از ۱۸ گرم در تن و عناصر خاکی کیاپ سنگین<sup>۱</sup> کم،  $\text{Yb}$  کمتر از  $1/8$  گرم در تن،  $\text{Sr}$  بالا (بیش از  $400$  گرم در تن)، عناصر با قدرت میدان بالا<sup>۲</sup> نسبتاً کم و  $^{87}\text{Sr}/^{86}\text{Sr}$  معمولاً کمتر از  $0/7040$  است (Defant and Drummond, 1990; Drummond et al., 1996; Martin, 1999; Martin et al., 2005; Condie, 2005; Castillo, 2012).

موقعیت مکانی بسیاری از آداسیت‌ها در محیط‌های فروزانش از سراسر جهان، منشأ فروزانشی آنها را پشتیبانی می‌کند. اهمیت آداسیت‌ها به دلیل ارتباط آنها با کانی‌سازی‌های مس - طلاست (Castillo, 2012). آداسیت‌ها به انواع آداسیت‌های سیلیس بالا<sup>۳</sup> و آداسیت‌های کم سیلیس<sup>۴</sup> تقسیم می‌شوند (Martin et al., 2005). نوع HSA دارای بیش از ۶۰ درصد وزنی  $\text{SiO}_2$ ، میزان  $\text{MgO}$  ( $0/5$  تا  $4$  درصد وزنی)، محتوای  $\text{CaO}+\text{Na}_2\text{O}$  ( $11 \sim 11 \sim 0/5$  تا  $4$  درصد وزنی)،  $\text{TiO}_2$  کمتر از  $1100$  گرم در تن و  $0/9$  درصد وزنی  $\text{Sr}$  کمتر از  $1100$  گرم در تن و  $0/9$  درصد وزنی  $\text{Mg}$  بالا نیز نامیده می‌شوند، با کمتر از  $60$  درصد وزنی  $\text{SiO}_2$ ، میزان  $\text{MgO}$  بالا ( $9$  تا  $4$  درصد وزنی)،  $\text{CaO}+\text{Na}_2\text{O} > 10$  درصد وزنی،  $\text{Sr}$  بیشتر از  $1100$  گرم در تن و  $\text{TiO}_2$  بیش از  $3$  درصد وزنی مشخص می‌شوند (Martin et al., 2005). طبقه‌بندی‌های دیگری مانند آداسیت‌های نوع جامائیکایی<sup>۵</sup> وجود دارد که با ویژگی  $\leq \text{SiO}_2$  آداسیت‌های نوع جامائیکایی<sup>۵</sup> وجود دارد که با ویژگی  $\leq \text{SiO}_2$   $\leq \text{Al}_2\text{O}_3$ ،  $15\% \leq \text{Na}_2\text{O}$  حدود  $5/9$  درصد؛ ولی با  $\text{Sr}$  کمتر از  $400$  گرم در تن) هستند (Hastie et al., 2010). منبع آمفیولیت کم عمق تر برای تولید ماگمای نوع JTA پیشنهاد شده است (Hastie et al., 2016).

منطقه مورد بررسی در پهنه شرقی ایران (شکل ۱-A) بخش بزرگی از زون‌های ساختاری جنوب و شرق شامل بلوک لوت،

(Taylor, 1976) ترکیب کالک‌آلکالن (نیشابور، قوچان و چکنه) A-۳ تا کالک‌آلکالن با پتاسیم بالا (سیزوار) نشان می‌دهند (شکل ۱-۳ و جدول ۱). بر اساس نمودار طبقه‌بندی شیمیایی (Shand, 1943)، ماهیت متا‌آلومینوس تا پر‌آلومینوس دارند (شکل ۲-۳). سنگ‌های آدکیتی شمال شرق ایران در دو بخش عمدۀ قوچان و سیزوار گزارش شده‌اند (شکل ۱-۲). در ناحیه قوچان تا نیشابور این سنگ‌ها معمولاً بین ۶۰ تا ۷۳ درصد وزنی  $\text{SiO}_2$  دارند. محتوای  $\text{Al}_2\text{O}_3$  به طور گسترده از ۱۵/۷ تا ۱۹/۸ درصد وزنی (~۱۷ درصد وزنی) متفاوت است.  $\text{MgO}$  معمولاً کمتر از ۲ درصد وزنی (~۱/۷ درصد وزنی) است. مقدار  $\text{Y}$  حدود ۶ تا ۱۸/۷ وزنی (~۱/۷ درصد وزنی) است. نسبت  $\text{Y}/\text{TiO}_2$  (۱۱/۷~) نسبت  $\text{Y}/\text{Sr}$  حدود ۲۳ تا ۹۰ (~۴۷/۵~) و محتوای آنها معمولاً کمتر از ۰/۶۸ درصد وزنی است. این تغییرات نشان‌دهنده موقعیت نمونه‌ها در آدکیت‌های سیلیس بالاست (شکل ۴). همه نمونه‌ها مقادیر کم  $\text{Nb}/\text{Y}$  (~۰/۹)،  $\text{La}/\text{Nb}$  (~۲)،  $\text{Ba}/\text{La}$  (~۲۰)، و تهی‌شدگی متمازیز  $\text{Nb}$  و  $\text{Ti}$  را در مقایسه با سایر HFSE (مانند  $\text{Ta}$  و  $\text{Y}$ ) در الگوی نمودار چند عنصری بهنجارشده به گوشه (Sun and McDonough, 1989) نشان می‌دهند (شکل ۴-۲).

در منطقه سیزوار آدکیت‌ها بین ۶۱/۲ تا ۷۳/۲ درصد وزنی  $\text{SiO}_2$  دارند. مقدار  $\text{Al}_2\text{O}_3$  از ۱۵/۳ تا ۱۸/۷ درصد وزنی (~۱۷/۲ درصد وزنی) متفاوت است. محتوای  $\text{MgO}$  در اغلب نمونه‌ها پایین و معمولاً کمتر از یک درصد وزنی (~۱/۵~ درصد وزنی) و در تعدادی از نمونه‌ها بالاتر از ۵ درصد وزنی است. نسبت  $\text{Sr}/\text{Y}$  حدود ۶۴ تا ۲۸۰ (~۱۴۶)، مقدار  $\text{Y}$  حدود ۲/۲ تا ۶/۴ (~۴) و محتوای  $\text{TiO}_2$  آنها معمولاً کمتر از ۰/۴ درصد وزنی است که نشان‌دهنده آدکیت‌های سیلیس بالاست (شکل ۴-۲). مقادیر کم  $\text{Nb}/\text{Y}$  (~۱/۶)،  $\text{La}/\text{Nb}$  (~۰/۵)،  $\text{Ba}/\text{La}$  (~۱۳۶) و تهی‌شدگی  $\text{Nb}$  را در مقایسه با سایر HFSE (به عنوان مثال،  $\text{Ta}$ ،  $\text{Y}$ ) در الگوی نمودار چند عنصری نرمال شده به گوشه (Sun and McDonough, 1989) نشان می‌دهند (شکل ۴-۲).

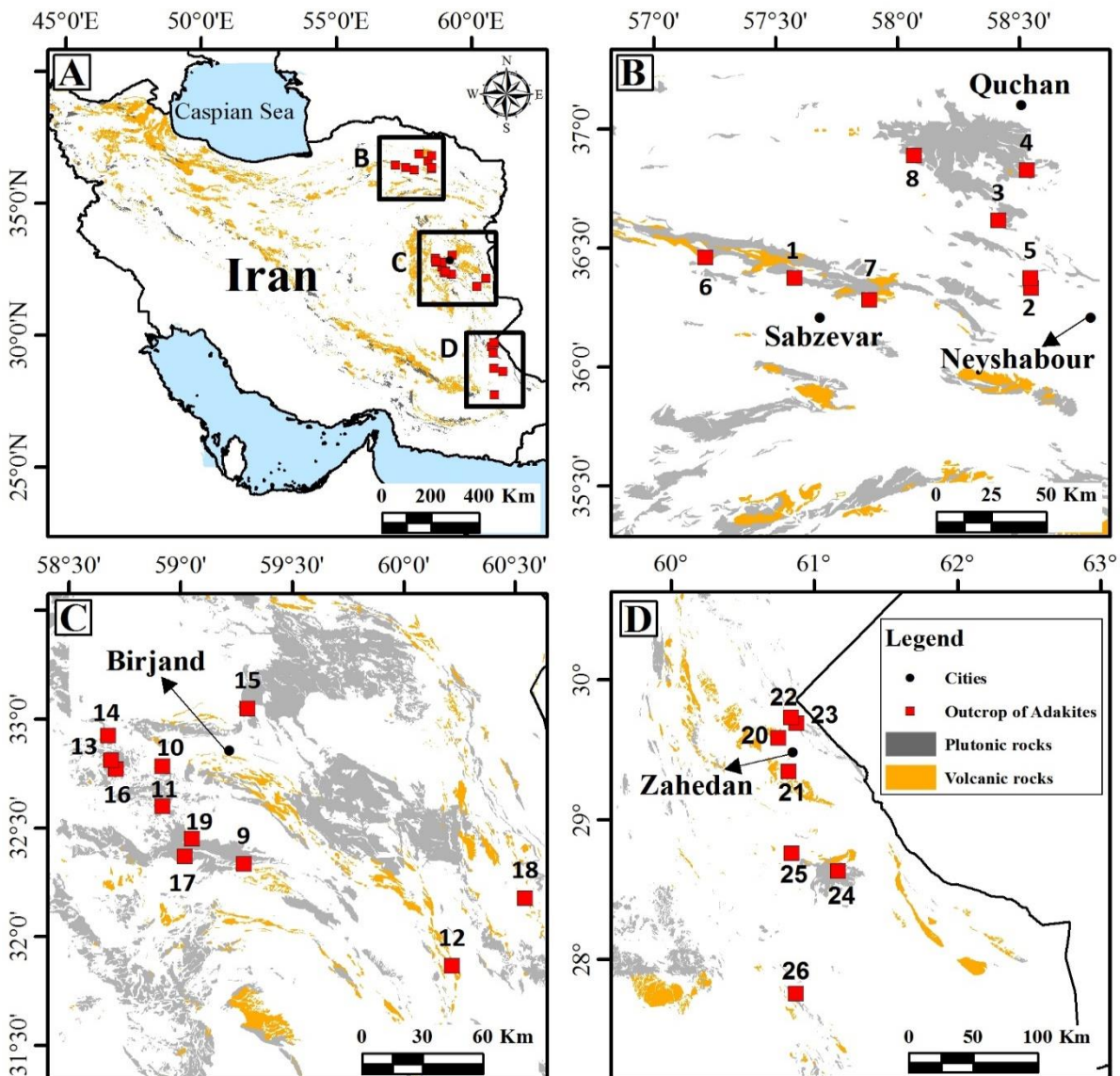
محدود می‌شود (شکل ۱-۴). این ناحیه در راستای شمالی-جنوبی، بیش از ۷۰۰ کیلومتر طول دارد. ماگماتیسم این منطقه شامل سنگ‌های نفوذی و آتشفسانی کرتاسه پسین تا تریاپاری است (Camp and Griffis, 1982; Tirul et al., 1983). زمین درز سیستان از اوایل کرتاسه تاریخ پیجیده‌ای داشته که با ریفت، فروزانش، جای‌گیری افیولیت، بالآمدگی و چندین دوره ماگمایی مشخص شده است (شکل ۱-۴). کمان فعال مکران در جنوب شرق ایران در شمال دریای عمان واقع شده و از هرمز در غرب تا خلیج سون میانی<sup>۷</sup> در نزدیکی کراچی در جنوب پاکستان به طول ۱۰۰۰ کیلومتر امتداد دارد (Saadat and Stern, 2011).

### روش مطالعه

داده‌های زمین‌شیمیایی ۳۱۴ نمونه از سنگ‌های آتشفسانی و نفوذی با ماهیت آدکیتی در شرق ایران گردآوری شد. در شکل ۱ موقعیت مکانی محدوده‌های مورد بررسی و در جدول ۱ خلاصه‌ای از نوع داده‌ها و منابع مورد استفاده ارائه شده است. در این پژوهش سنگ‌های اسیدی و حدوداً میانی (درونی و بیرونی) با ویژگی آدکیتی مدنظر قرار گرفته و سنگ‌های مافیک مانند بازالت در بانک اطلاعات لحاظ نشده‌اند (شکل ۲-۱ و ۲-۲). همچنین نمونه‌های با افت حرارتی<sup>۸</sup> بالا (بیشتر از ۳) حذف شدند و بقیه نمونه‌ها بر اساس ویژگی‌های زمین‌شیمیایی، سنگ‌نگاری و موقعیت زمین‌شناسی مورد بررسی قرار گرفتند (جدول ۱).

### نتایج

**آدکیت‌های بخش شمالی (شمال شرق ایران)**  
سنگ‌های آتشفسانی و نیمه‌آتشفسانی آدکیتی از مناطق سیزوار، نیشابور و قوچان گزارش شده‌اند (جدول ۱ و جدول ۲-۱) (Nanvabashi, 2011; Aghabazaz, 2012; Rossetti et al., 2014; Taheri-Sarteshnizi, 2018; Fazelvalipour, 2021). این سنگ‌ها اغلب داسیت تراکی آندزیت و آندزیت بوده (شکل ۲-۱) و در نمودار  $\text{K}_2\text{O}-\text{SiO}_2$  (Peccerillo and



شکل ۱. موقعیت آدکیت‌ها در A: بخش شرقی ایران، B: بخش شمالی، C: بخش مرکزی و D: بخش جنوبی (شماره‌های روی شکل در جدول ۱ توصیف شده‌اند).

**Fig. 1.** Location of adakites, A: in eastern part of Iran, B: Northern part, C: Central part, and D: Southern part (The numbers on the figure are described in [Table 1](#)).

گزارش شده‌اند ([شکل ۱-C](#) و [جدول ۱](#)). بر اساس نمودار طبقه‌بندی شیمیایی ([Middlemost, 1994](#)), ترکیب سنگ‌های آتشفسانی اغلب داسیت، ریوداسیت، آندزیت و تراکی آندزیت و سنگ‌های نیمه عمیق و نفوذی اغلب دیوریت، گرانو دیوریت و

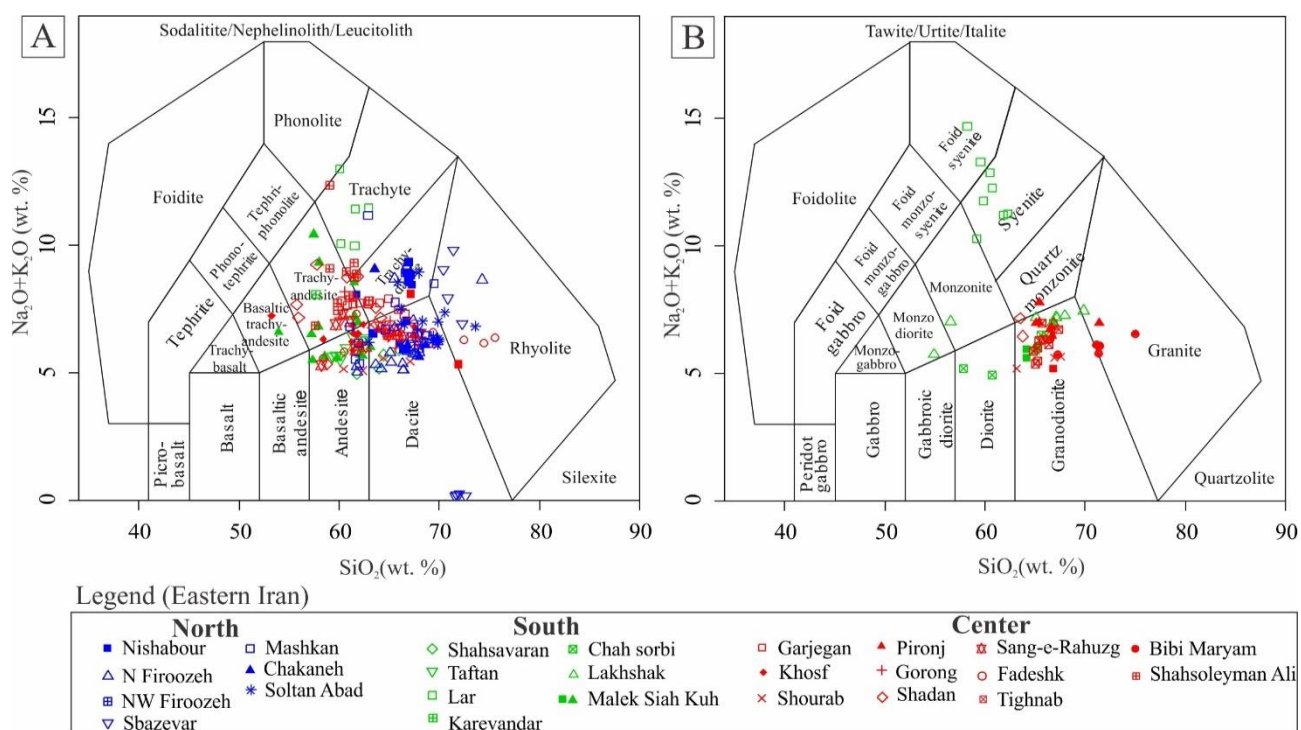
**آدکیت‌های بخش مرکزی (شرق ایران)**  
سنگ‌های با ماهیت آدکیتی در شرق ایران (اوسن-الیگوسن) از مناطق گارجگان، خوسف، شوراب، فدشك، پرونچ، گورونگ، شاه سلیمان علی، سنگرهوزگ، شادان، تیغتاب و بی‌بی مریم

درصد وزنی (~۱۶/۸ درصد وزنی)،  $MgO$  (۰/۳ تا ۴/۱ درصد وزنی)،  $K_2O$  کم (۰/۶۹ تا ۲/۳ درصد وزنی)، مقدار پایین  $Cr$  (۰/۸ تا ۲۰ گرم در تن)،  $Co$  (۱۹/۶ تا ۰/۸ گرم در تن)،  $Ni$  (۱۰ تا ۱۱۲ گرم در تن)،  $Th$  (۰/۷ تا ۱۰/۷ گرم در تن) نشان می‌دهند. نسبت  $Sr/Y$  حدود ۲۹ تا ۵۴ (~۷۵)، مقدار  $Y$  حدود ۱۸ تا ۵۹ گرم در تن) و  $Th/Yb$  (۰/۱۵ تا ۰/۲۵) به عنوان آنها معمولاً کمتر از ۰/۵ درصد وزنی (~۱۲) است که نشان دهنده آدکیت‌های سیلیس بالاست (شکل ۴). نسبت عناصری مانند  $Th/Sm$  بالا (۰/۱۵ تا ۰/۶۵) و  $La/Nb$  (۰/۱۶ تا ۰/۲۵) کم (۰/۵۶ تا ۰/۰۵۶) است. مقدار پایین  $Nb/La$  (~۰/۲۴) و تنهی شدگی  $Nb$  را در مقایسه با سایر HFSE در الگوی Sun and McDonough, 1989 نشان می‌دهند (شکل ۶).

گرانیت است (شکل ۲A و B). نمودار تفکیک کننده موقعیت زمین‌ساختی گرانیت‌ها (Pearce et al., 1984)، محیط کمان آتشفسانی را نشان می‌دهد (شکل ۵A) که اغلب متالومینوس و به طور محدود پرآلومینوس هستند (شکل ۵B) (Shand, 1943).

این سنگ‌ها بر اساس نبود ناهنجاری منفی  $Eu$  پایین (به عنوان مثال،  $Yb=۰/۵-۲/۲$  و  $Y=۵/۲-۲۰$ )، محتوای  $Sr$  (۰/۱۵۸ تا ۰/۵۲-۰/۲)، محتوای  $SiO_2$  (۰/۴۷ تا ۰/۵۲) و نسبت  $Sr/Y$  (۰/۷۵ تا ۰/۷۵) درصد وزنی) به عنوان آدکیت‌های سیلیس بالا طبقه‌بندی می‌شوند (شکل ۴A).

نمونه‌های مورد بررسی از گورونگ، شوراب و فدشک  $SiO_2$  نسبتاً بالا (۰/۵۸ تا ۰/۷۵) درصد وزنی)،  $Al_2O_3$  از ۰/۱۳ تا ۰/۱۸ نسبتاً بالا (۰/۷۵ تا ۰/۵۸) درصد وزنی)،



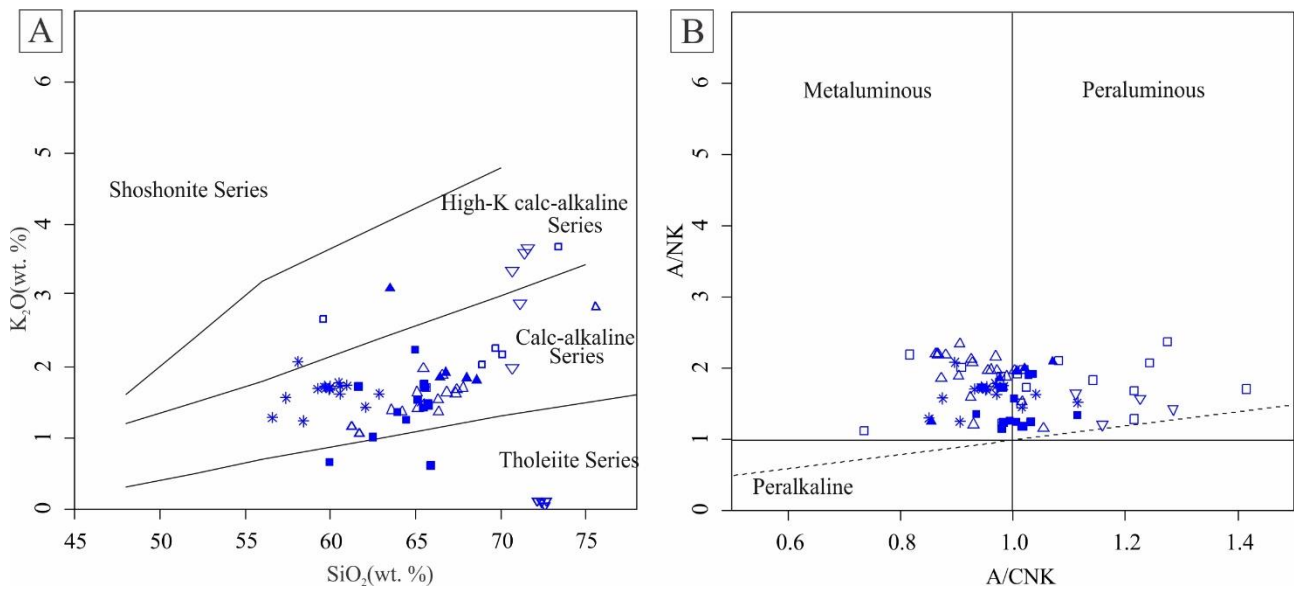
شکل ۲. نمودارهای زمین‌شیمیایی طبقه‌بندی آدکیت‌های شرق ایران، A: سنگ‌های آتشفسانی در نمودار مجموع آلکالی‌ها در مقابل  $SiO_2$  (Middlemost, 1994) و B: سنگ‌های نفوذی در نمودار مجموع آلکالی‌ها در مقابل  $SiO_2$  (Middlemost, 1994)

**Fig. 2.** Geochemical diagrams for classification of eastern Iran adakites, A: Volcanic rocks in total alkalis versus silica (TAS) diagram (Middlemost, 1994), and B: Intrusive rocks in total alkalis versus silica (TAS) diagram (Middlemost, 1994).

**جدول ۱.** مقایسه ترکیب میانگین آدکیت‌های شرق ایران با میانگین آدکیت‌ها**Table 1.** Comparison of the average geochemical of the eastern Iran adakites with adakite

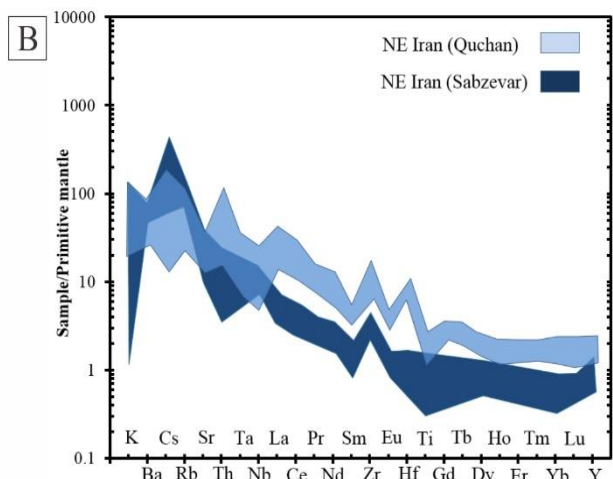
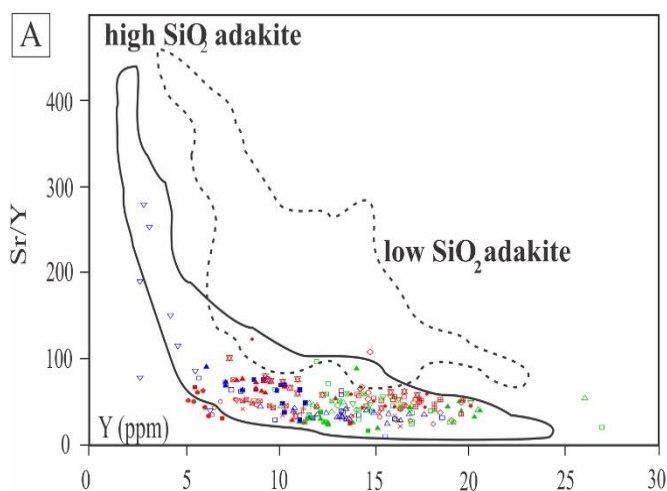
Location	Area	Series	SiO <sub>2</sub> (wt.%)	Al <sub>2</sub> O <sub>3</sub> (wt.%)	MgO (wt.%)	Na <sub>2</sub> O (wt.%)	Sr (wt.%)	Y (ppm)	Sr/Y	Yb (ppm)	La/Yb	Number	Ref.
North (Iran)	Sabzevar	CA	71.60	15.15	0.34	4.96	488	5.55	88.72	0.42	23.21	17	1
	Neyshabour	CA-Th	64.34	16.51	1.81	6.18	563	10.19	55.24	1.06	12.21	16	2
	North Firuzeh	CA	65.99	16.56	1.01	4.17	437	13.41	32.03	0.85	20.2	22	3
	Chakaneh	CA	66.67	17.11	1.65	4.44	483	8.06	64.30	0.82	25.03	5	4
	NW Firozeh	CA	65.0	15.5	2.55	4.55	310	11.4	23.50	1.1	12.05	16	5
	Sabzevar	CA	72.01	17.38	3.67	2.12	465	3.95	124	0.21	21.03	14	6
	Soltan Abad	CA	67.32	17.01	0.44	5.42	556	2.48	260	0.14	29.74	18	7
Center (Iran)	Mashkan	CA	61.3	16.38	3.55	4.55	481	11.5	46.9	1.10	26.4	17	8
	Sang-e-Rahuzg	CA	61.36	16.13	2.27	3.7	347	7.42	31.84	0.67	30.49	15	9
	Khosf	CA-Sh	58.65	16.88	2.43	3.82	826	15.52	57.97	1.61	21.95	10	10
	Garjegan	Sh-CA	62.61	16.29	1.25	3.6	806	15.27	52.65	1.70	18.0	10	11
	Bibi maryam	Th- CA	72.02	15.29	1.33	4.85	245	6.81	35.99	0.73	16.08	6	12
	Fadeshk	CA	67.09	17.64	1.43	4.64	392	10.78	36.37	1.16	15.33	10	13
	Gorong	CA	62.16	17.31	-	4.93	456	13.89	33.99	1.4	12.67	10	14
	Pironj	CA	64.31	15.5	2.34	4.23	580	<9.51	-	<0.83	-	10	15
	Shurab	CA	62.79	16.86	2.29	4.22	393	13.36	29.66	1.36	13.61	10	16
	Shadan	CA-Sh	58.68	16.21	2.41	3.52	776	17.6	44.1	1.91	16.01	10	17
South (Iran)	Tighanab	Th- CA	64.48	16.68	2.53	5.12	470	8.91	55.58	0.89	6.18	11	18
	ShahSoleyman Ali	CA- Sh	60.28	16.96	1.62	4.25	821	17.3	47.82	1.80	14.07	12	19
	Lakhshak	CA- Sh	62.39	16.09	2.78	4.06	661	15.13	43.70	1.21	31.98	10	20
	Chah Sorbi	CA	60.30	16.49	3.19	3.37	641	14.47	44.29	1.29	20.22	7	21
	Lar	Sh	58.61	16.76	1.93	4.49	612	15.71	39.17	1.63	17.63	14	22
MalekSiah Kuh	MalekSiah Kuh	Sh-CA	58.67	15.40	4.66	3.05	465	13.18	66.0	2.10	11.0	10	23
	Taftan	CA	62.05	16.55	2.9	3.1	645	14.0	40.0	1.42	14.0	10	24
	Shahsavaran	CA	63.11	15.21	2.25	2.67	600	15.02	39.93	1.56	19.86	5	25
	Karevandar	Sh	56.29	15.35	3.56	2.33	720	12.53	57.65	1.25	23.33	9	26
World	Adakite	CA	≥ 56	≥ 15	< 3	≥ 3	> 300	< 10	> 20	< 1	> 20	-	27

**References:** 1- Mohammadi et al., 2015; 2- Fazelvalipour (2021); 3- Aghabazaz (2012); 4- Taheri-Sarteshnizi (2018); 5- Nanvabashi (2011); 6- Jamshidi et al. (2018); 7- Omrani (2018); 8- Tanha (2009); 9- Mohammadi et al. (2017); 10- Yousefzadeh et al. (2019); 11- Aboutalebi et al. (2016); 12- Delavari et al. (2014); 13- Torshizi et al. (2016); 14- Labbaf et al. (2014) ; 15- Ramezani et al. (2013) ; 16- Gholami et al. (2016); 17- Richards et al. (2012); 18- Nakhaei and Mohammadi (2021); 19- Ketabi et al. (2015); 20- Kananian et al., (2007); 21- Boomeri et al. (2020b); 22-Boomeri et al. (2020a); 23- Javan Khosh Kholgh et al. (2017); 24- Delavari and Shakeri (2016); 25- Tavakoli rad (2013); 26- Daryapeyma Hormozi et al. (2016); 27- Castillo (2012); CA: calc-alkaline; Th: tholeite, Sh: shoshonite.



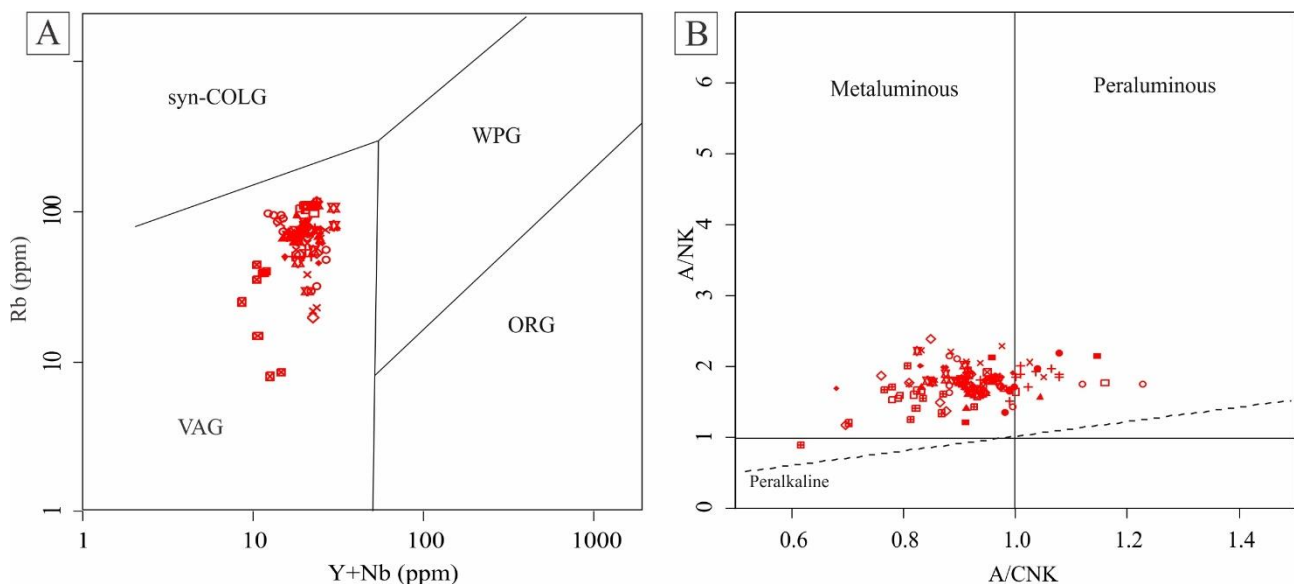
شکل ۳. نمودار زمین‌شیمیایی شناسایی نوع سری ماقبل آتشفسانی بخش شمالی (شمال شرق ایران)، A: نمودار  $K_2O$  در مقابل  $[A:Al_2O_3]$  و B: نمودار  $A/NK$  در مقابل  $A/CNK$  (Shand, 1943) [A:Al<sub>2</sub>O<sub>3</sub>, C:CaO, N:Na<sub>2</sub>O, K:K<sub>2</sub>O] است.

**Fig. 3.** Geochemical diagrams to identify the magmatic series and nature of volcanic rocks from northern part (Northeastern Iran), A:  $SiO_2$  vs  $K_2O$  plot (Peccerillo and Taylor, 1976), and B:  $A/CNK$  vs  $A/NK$  plot (Shand, 1943). Legends as figure 2. [A:Al<sub>2</sub>O<sub>3</sub>, C:CaO, N:Na<sub>2</sub>O, K:K<sub>2</sub>O]



شکل ۴. A: مقایسه آدکیت‌های شرق ایران با آدکیت‌های سیلیس بالا و کم سیلیس در نمودار  $Y$  در مقابل  $Sr/Y$  (Martin et al., 2005) و B: نمودار عنکبوتی بهنجارسازی چند عنصری نسبت به گوشته اولیه برای آدکیت‌های شرق ایران (Sun and McDonough, 1989). راهنمای مشابه شکل ۲ است.

**Fig. 4.** A: Comparing eastern Iran adakites with high- $SiO_2$  adakites and low- $SiO_2$  adakites in  $Y$  versus  $Sr/Y$  diagram (Martin et al., 2005), and B: Primitive mantle-normalized multi-element spider diagram for northeastern Iran adakites (Sun and McDonough, 1989). Legends as figure 2.



شکل ۵. نمودار زمین‌شیمیایی شناسایی نوع سری ماگماتی و ماهیت نمونه‌های بخش مرکزی (شرق ایران)، A:  $\text{SiO}_2$  در مقابل  $\text{K}_2\text{O}$  (Pearce et al., 1984) و B: نمودار تفکیک کننده موقعیت زمین‌ساختی گرانیت‌ها (Peccerillo and Taylor, 1976)، محیط کمان آتشفسانی را نشان می‌دهد. گرانیت پشتی میان اقیانوسی، wpg: گرانیت درون صفحه‌ای، G: گرانیت کمان آتشفسانی، syn-COLG: گرانیت هم‌زمان با برخورد. راهنمای مشابه شکل ۲ است.

**Fig. 5.** Geochemical diagrams to identify the magmatic series and nature of samples from central part (Eastern Iran), A:  $\text{SiO}_2$  vs  $\text{K}_2\text{O}$  plot (Peccerillo and Taylor, 1976), and B: Discriminant granite tectonic setting diagram (Pearce et al., 1984) shows volcanic arc setting. ORG=ocean ridge granite, WPG: within-plate granite, VAG: volcanic arc granite, syn-COLG: syn-collisional granite. Legends as figure 2.

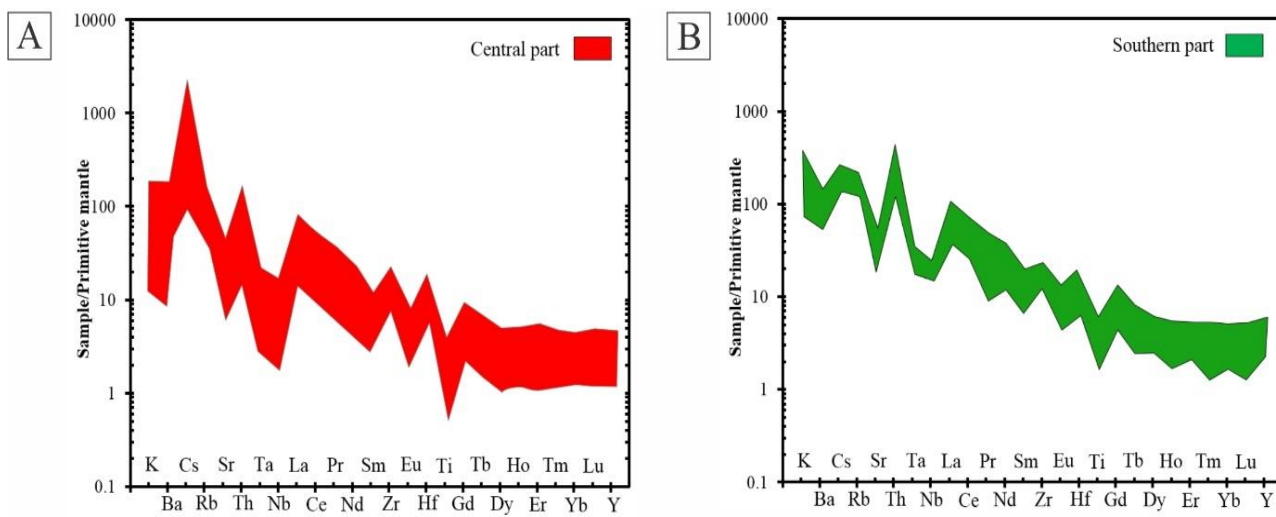
گوشه (Sun and McDonough, 1989) نشان می‌دهند (شکل ۶).

سنگ‌های نیمه عمیق تیغناپ (الیگو-میوسن) و گرانیتوئیدهای بی‌بی مریم (پالتونس) از لحاظ ساختاری در بخش شمالی زمین درز سیستان واقع شده‌اند (Delavari et al., 2014). مقدار  $\text{SiO}_2$  نسبتاً بالا ( $63/5$  تا  $74/2$  درصد وزنی)،  $\text{Al}_2\text{O}_3$  از  $13/5$  تا  $18/9$  درصد وزنی ( $\sim 16/4$  ~ درصد وزنی)،  $\text{MgO}$  ( $1/2$  تا  $3/5$  درصد وزنی) و  $\text{Th}$  ( $0/28$  تا  $1/5$  درصد وزنی)،  $\text{Co}$  ( $0/23$  تا  $1/2$  درصد وزنی)،  $\text{Ni}$  ( $2/5$  تا  $13/5$  گرم در تن) و  $\text{Na}_2\text{O}/\text{K}_2\text{O}$  ( $2/84$  تا  $7/33$ ) نشان می‌دهند. این سنگ‌ها با دارا بودن  $\text{Y}$  ( $4/2$  تا  $7/7$ )،  $\text{La}/\text{Yb}$  ( $0/42$  تا  $12/1$ ) و محتوای  $\text{TiO}_2$  معمولاً کمتر از  $5/5$  درصد حدود  $5$  تا  $12$  ( $\sim 7/9$ ) و محتوای  $\text{Nb}$  معمولاً کمتر از  $0/5$  درصد

آداسیت‌های شادان، شاه سلیمان علی، بیرونیج، سنگ رهوزگ، گارچگان و خوسف با  $\text{SiO}_2$  نسبتاً بالا ( $55/7$  تا  $70/2$  درصد وزنی)،  $\text{Al}_2\text{O}_3$  از  $14/9$  تا  $18/3$  درصد وزنی ( $\sim 16/5$  ~ درصد وزنی)،  $\text{MgO}$  ( $0/4$  تا  $4/3$  درصد وزنی)، محتوای  $\text{K}_2\text{O}$  ( $1/07$  تا  $1/4/22$  درصد وزنی)،  $\text{Th}$  ( $5/22$  تا  $8/2$  گرم در تن)،  $\text{Ni}$  ( $9/76$  تا  $4/89$  درصد وزنی)،  $\text{Co}$  ( $2/22$  تا  $32/3$  گرم در تن) نشان می‌دهند. نسبت  $\text{Y}/\text{Sr}$  در تن ( $14/3$  ~  $56/56$ )، مقدار  $\text{Y}$  حدود  $7/4$  تا  $20/2$  ( $\sim 14/3$ ) و محتوای  $\text{TiO}_2$  آنها معمولاً کمتر از  $0/6$  درصد وزنی است که نشان‌دهنده آداسیت‌های سیلیس بالاست (شکل ۴). نسبت عناصری مانند  $\text{Th}/\text{Sm}$  ( $4/6$  تا  $1/2$ )،  $\text{Th}/\text{Yb}$  ( $17/8$  تا  $2/2$ ) و  $\text{Nb}/\text{La}$  کم ( $0/15$  تا  $0/42$ ) است و تهی شدگی  $\text{Nb}$  را در مقایسه با سایر HFSE در الگوی نمودار چند عنصری بهنجارشده به

(شکل ۶-A). الگوی نمودار چند عنصری بهنجارشده به گوشته Sun and McDonough, 1989) بخش جنوبی زون سیستان برای مقایسه در شکل ۶-B ارائه شده است.

وزنی و بدون ناهنجاری‌های Eu قابل توجه، مشابه آدکیت‌های سیلیس بالا هستند (شکل ۴-A). همچنین تهی شدگی Nb در مقایسه با سایر HFSE در الگوی نمودار چند عنصری بهنجارشده به گوشته Sun and McDonough, 1989) نشان می‌دهند



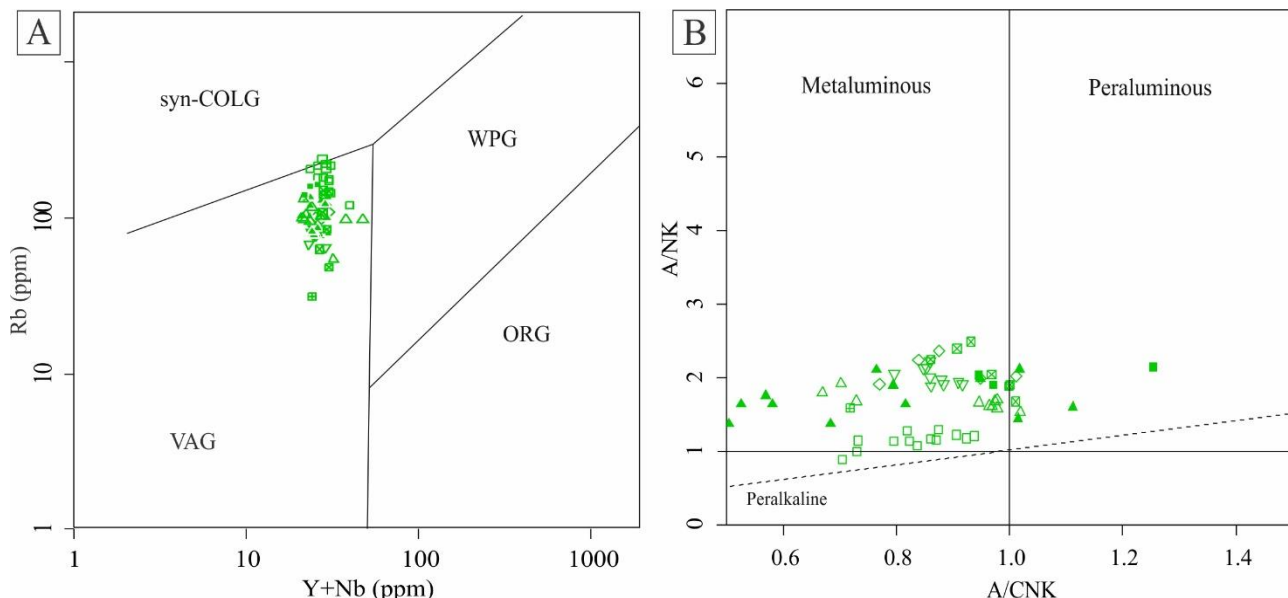
شکل ۶. نمودار عنکبوتی بهنجارسازی چند عنصری نسبت به گوشته اولیه Sun and McDonough, 1989 آدکیت‌های مورد بررسی، A: نمونه‌های بخش مرکزی (شرق ایران) و B: نمونه‌های بخش جنوبی (جنوب شرق ایران)

**Fig. 6.** Primitive mantle-normalized multi-element spider diagram (Sun and McDonough, 1989) for studied adakites, A: samples from central part (eastern Iran), and B: samples from southern part (southeastern Iran).

تا  $\sim 3/7$  درصد وزنی)،  $\text{MgO} \sim 3$  (درصد وزنی)،  $\text{K}_2\text{O} \sim 69/1$  درصد وزنی)،  $\text{Th} \sim 3/7$  (درصد وزنی)،  $\text{Cs} \sim 31/6$  گرم (در تن)،  $\text{Ni} \sim 101$  گرم (در تن)،  $\text{Y} \sim 9/8$  (در تن)،  $\text{Sr/Y} \sim 18$  (در تن)،  $\text{La} \sim 27$  گرم (در تن)، نسبت  $\text{Sm/Yb} \sim 1/1$  (در تن) و  $\text{Ce/Yb} \sim 6/2$  (در تن) هستند؛ اگرچه برخی از نمونه‌ها دارای مقادیر بالایی از  $\text{MgO}$  (تا  $9/25$  درصد وزنی)، یا  $\text{K}_2\text{O} \sim 9/94$  درصد وزنی) هستند (جدول ۱). در مقایسه با سایر آدکیت‌های شرق ایران، این سنگ‌ها محتوای  $\text{SiO}_2$  کمتر؛ اما  $\text{MgO}$  بالاتر و مقادیر بالاتر  $\text{Th/Ce}$  و  $\text{Th/Nb}$  را نشان می‌دهند. محتوای  $\text{MgO}$  در برخی نمونه‌های ملک سیاه کوه به طور کلی بالاتر از آن چیزی است که برای HSA تعریف شده است.

### آدکیت‌های بخش جنوبی (جنوب شرق ایران)

سنگ‌های با ماهیت آدکیتی از مناطق لار (اوشن- الیگومن)، ملک سیاه کوه (الیگومیوسن)، لخشک (الیگومیوسن) و چاه سربی (الیگومن)، شهسواران، تفتان و کارواندر گزارش شده‌اند (جدول ۱ و شکل ۱-D). بر اساس نمودار طبقه‌بندی شیمیایی Middlemost, 1994)، سنگ‌های آتشفسانی بخش جنوبی (A-2) و سنگ‌های نفوذی اغلب دیوریت و گلبرودیوریت هستند (شکل ۲-B). نمودار Pearce et al., 1984) تکنده موقعیت زمین‌ساختی گراینیت‌ها (A-7)، محیط کمان آتشفسانی را نشان می‌دهد (شکل ۷-A). اغلب متاآلومینوس و به طور محدود پرآلومینوس هستند (شکل ۷-B). این سنگ‌ها حاوی  $\text{SiO}_2$  نسبتاً زیاد ( $53/15$ ) (Shand, 1943) (B



شکل ۷. نمودار زمین شیمیایی شناسایی نوع سری ماگمایی و ماهیت نمونه های بخش مرکزی (شرق ایران)، A: نمودار  $\text{SiO}_2$ -K در مقابل  $\text{O}_2$  و B: نمودار تفکیک کننده موقعیت زمین ساختی گرانیت ها (Pearce et al., 1984) (Peccerillo and Taylor, 1976) نشان می دهد. ORG: گرانیت پشتہ میان اقیانوسی، wpg: گرانیت درون صفحه ای، VAG: گرانیت کمان آتشفسانی، syn-COLG: گرانیت هم زمان با پر خورد. راهنمای مشابه شکل ۲ است.

**Fig. 7.** Geochemical diagrams to identify the magmatic series and nature of samples from central part (Eastern Iran), A: SiO<sub>2</sub> vs K<sub>2</sub>O plot ([Peccerillo and Taylor, 1976](#)), and B: Discriminant granite tectonic setting diagram ([Pearce et al., 1984](#)) shows volcanic arc setting. ORG: ocean ridge granute, WPG: within-plate granite, VAG: volcanic arc granite, syn-COLG: syn-collisional granite. Legends as [figure 2](#).

درصد وزنی)،  $\text{Al}_2\text{O}_3$  از ۱۴/۴ تا ۱۷/۴ درصد وزنی (۵۶/۳)،  $\text{MgO}$  (۱/۷ تا ۴ درصد وزنی)،  $\text{ThO}_2$  (۸/۹ تا ۵/۵ درصد وزنی)،  $\text{K}_2\text{O}$  (۱/۱۸ تا ۰/۱) و  $\text{CoO}$  (۸ تا ۲۶ گرم در تن)،  $\text{NiO}$  (۲۱ تا ۶۱ گرم در تن) نشان دهد. نسبت  $\text{Y/Sr}$  حدود ۴۰ تا ۶۳ (~۴۸)، مقدار  $\text{Y}$  حدود ۰/۵ تا ۱۲/۵ (~۱۵) و محتوای  $\text{TiO}_2$  آنها معمولاً کمتر از ۷٪ است (شکل A-۴). درصد وزنی و مشابه آداسیت‌های سیلیس بالاست (Biabangard and Moradian, 2009). این سنگ‌ها از نظر محتوای  $\text{Rb}$  کمی متفاوت با آداسیت‌ها هستند. نسبت عناصری مانند  $\text{Nb/Sm}$  (۱/۵ تا ۴)،  $\text{Th/Yb}$  (۴ تا ۱۰/۷) و تنهی شدگی  $\text{Nb}$  را در مقایسه با سایر HFSE در الگوی نمودار چند عنصری بهنجارشده به گوشته Sun and McDonough, 1989 نشان می‌دهند.

غنى شدگی LREE و HREE به ترتيب نسبت به Rb، Na هنجرى منفى Ti، Ba و Nb و ناهنجرى مثبت Th مشابه سنگهای آذرین از نوع کمانی است (شکل ۶).  
ناهنجرى منفى Zr در برخی از نمونهها ممکن است نشان دهنده شروع اشباع Zr باشد (Boomeri et al., 2020a). برخی از نمونههای ملک سیاه کوه ناهنجری Eu مثبت را در الگوی نمودار چند عنصری بهنجرشده به گوشه نشان می دهند (شکل ۶).

نمونههای مربوط به شهسواران، کارواندر و تفتان (کواترنر)، در انتهای زون ساختاری فلیش نهیندان- خاش و کمریند زمین ساختی فعال مکران قرار دارند. ترکیب بیشتر سنگهای آتشفسانی آندرزیتی و داسیتی است. این سنگها شبیه به سریهای کالک‌آلکالن یا پیتاسیم بالا هستند. این سنگ‌ها  $\text{SiO}_2$  نسبتاً بالا

(شکل ۶-B).

نظر سن قدیمی تر (حدود ۴۰ میلیون سال قبل) و شامل آدکیت‌های با میزان MgO کم تا زیاد هستند. هستی و همکاران (Hastie et al., 2016) و موین (Moyen, 2009) اشاره کرده‌اند که ناهنجاری‌های منفی و محتوای کم Nb-Ti در این سنگ‌ها (شکل ۴-B) را می‌توان با باقی مانده روئیل، آمفیبول، تیتانیت، ایلمینیت و يا اسفن در ناحیه منشأ و يا ناشی از غنی‌سازی عناصر لیتوفیل با La، REE (به عنوان مثال، Cs) و سبک (Pr, Ce) به دلیل اختلاط مذاب‌های ورقه اقیانوسی با سیالات آبدار توضیح داد. این ویژگی‌های زمین‌شیمیایی با شواهد ماگماهای متنسب به مناطق فرورانش همخوانی دارد. دیگر داده‌های زمین‌شیمیایی مانند مقادیر Th, SiO<sub>2</sub>-MgO کم و کروم، نیکل نسبتاً بالا نیز می‌تواند در ارتباط با ذوب ورقه اقیانوسی باشد (شکل ۸-A). بررسی‌های زمین‌شیمیایی (شکل ۸-B) و ترکیب‌های ایزوتوپی (<sup>87</sup>Sr/<sup>86</sup>Sr)<sub>i</sub>=0.7041؛ (<sup>207</sup>Pb/<sup>204</sup>Pb)=15.536-15.538؛ εNd<sub>i</sub>=5.60-6.10، εNd<sub>10Ma</sub>=0.7042) بیانگر آن است که ماگمای سازنده گنبد‌های ریولیتی در منطقه سبزوار از ذوب‌بخشی ورقه اقیانوسی فرورااند شده (ترکیب گارنت آمفیبولیت) ایجاد شده و سپس از راه تبلور تفریقی تحوال یافته است (Mohammadi et al., 2015). نسبت‌های اولیه ایزوتوپی (<sup>87</sup>Sr/<sup>86</sup>Sr) تا (<sup>87</sup>Sr/<sup>86</sup>Sr) نیز منشأ ذوب‌بخشی لیتوسفر اقیانوسی طی فرورانش شاخه شمالی نو تیس در تولید سنگ‌های آدکیتی جنوب‌غرب قوچان (چکنه) را تأیید می‌کند (Gardideh et al., 2018; Rezaei et al., 2018; Kahkhaei et al., 2021).

آدکیت‌های بخش مرکزی (شکل ۱-C) بر خلاف آدکیت‌های بخش شمالی (شکل ۱-B)، بیشتر ترکیب آندزیت- داسیت داشته و ویژگی آدکیت‌های پس از برخورد را نشان می‌دهند (شکل ۸). در نمونه‌های مورد بررسی از گورونگ، سوراب و فدشك چنان‌که قبلاً اشاره شد، نسبت عناصری مانند Th/Sm بالا (۱/۵ تا ۶/۶۵)، Th/Yb (۲/۵ تا ۱۶/۷) و Nb/La کم (۰/۲۵ تا ۰/۶۵) منبع گوشته لیتوسفری را نشان می‌دهد (Smith et al., 1999).

**بحث و بررسی**  
ارتباط ماگماتیسم آدکیتی با تحولات ماگمای-زمین‌ساختی منشأ آدکیت‌ها از ذوب‌بخشی پوسته اقیانوسی فرورانش شده (آمفیبولیت-اکلوژیت)، ذوب‌بخشی پوسته زیرین ضخیم شده در میدان پایداری کلینوپیروکسن، آمفیبول، ± گارنت و در یک محیط پس از برخورد، ذوب‌بخشی پوسته زیرین در پهنه‌های کششی درون قاره‌ها، ذوب گوه گوشه‌ای و سپس تفرقی ماگما در فشار بالا و اختلاط ماگما بیان شده است (Wang et al., 2006). سنگ‌های آدکیتی گزارش شده در ایران از ذوب‌بخشی پوسته اقیانوسی فرورانش شده (مانند آدکیت‌های اواخر میوسن در شمال‌غرب ایران؛ آدکیت اثوسن تا میوسن در مرکز کمربند ارومیه-دختر؛ آدکیت پالنوسن بی‌بی مریم در سیستان)، ذوب‌بخشی پوسته زیرین ضخیم شده و لیتوسفر گوشه‌ای (مانند آدکیت‌های میوسن ایران مرکزی)، ذوب لیتوسفر قاره‌ای متاسوماتیزه شده (مانند آدکیت میوسن در شمال‌غرب ایران)، ذوب‌بخشی پریدوتیت یا گارنت آمفیبولیت در پوسته پایینی (شبه آدکیت‌های سنوزوئیک کمربند ارسباران) منشأ گرفته‌اند (Jahangiri, 2007; Omrani et al., 2008; Ghorbani and Bezenjani, 2011; Delavari et al., 2014; Rossetti et al., 2014; Jamali and Mehrabi, 2015; Alirezaei et al., 2017; Omrani, 2018; Jamshidi et al., 2018; Torkian et al., 2019).

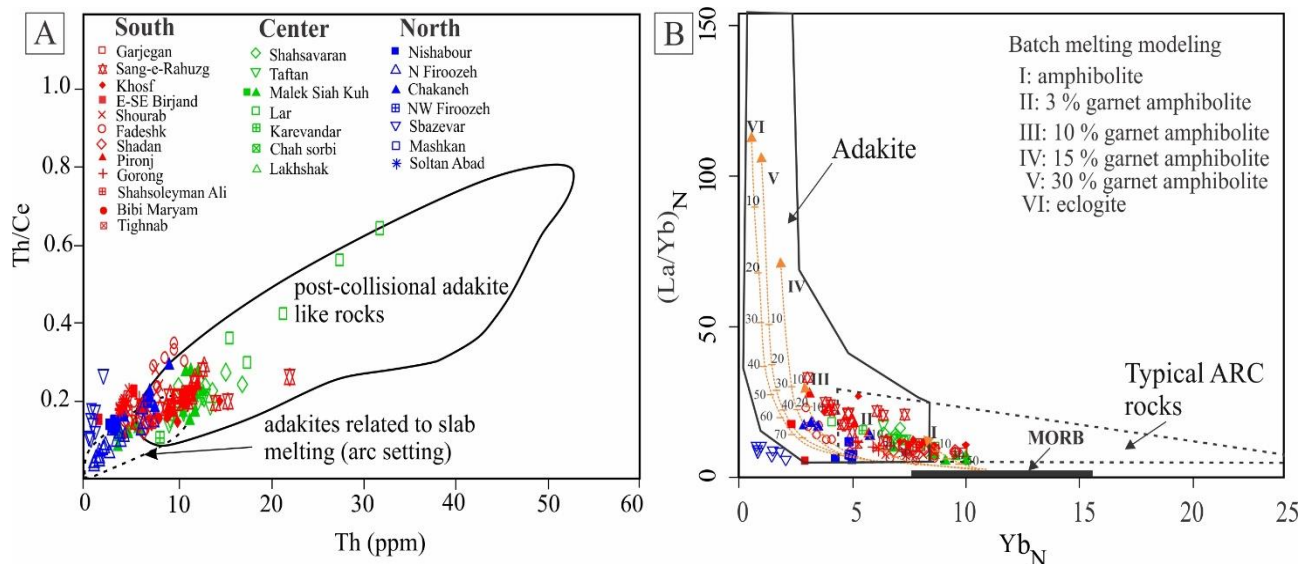
سنگ‌های آدکیتی پهنه شرقی ایران (از شمال‌شرق تا جنوب‌شرق)، نیز ویژگی‌های زمین‌شیمیایی متفاوتی را نشان می‌دهند که بیانگر جایگاه‌های زمین‌ساختی و منشأ متفاوت این واحدهای سنگی است. ماگماتیسم آدکیتی به ویژه در سبزوار اغلب ترکیب ریولیت- آندزیت است. در بخش شمال‌شرق (شکل ۱-B)، در منطقه نیشابور تا قوچان این سنگ‌ها از نظر سنی جوان (حدود ۳۰ میلیون سال قبل و جوان‌تر) بوده و همگی دارای MgO پایین هستند؛ در حالی که در منطقه سبزوار، سنگ‌های آدکیتی از

آمفیبول یک فاز باقی‌مانده اصلی در طول ذوب به خصوص در آدکیت‌های شرق ایران بوده است (شکل A-۹). این نسبت در منطقه بی‌بی مریم افزایش می‌یابد که می‌تواند نشان‌دهنده حضور گارنت در منبع باشد.

بیشتر نمونه‌ها همبستگی قوی  $\text{SiO}_2/\text{La/Yb}_{\text{CN}}$  را نشان می‌دهند که تفربیت کانی‌های مافیک مانند آمفیبول را تأیید می‌کند (شکل B-۹). بر اساس نظر کاستیلو (Castillo, 2012)، جدایش آمفیبول از ماقمای غنی از آب، تفربیت از طریق تبلور آمفیبول ± گارنت در گوشه‌ته یا پوسته به عنوان سازوکارهای ممکن برای تولید سنگ‌های آدکیتی در نظر گرفته می‌شود. در یک نگاه کلی، آدکیت‌های بخش‌های مرکزی (شکل C-۱) از ذوب پوسته زیرین ضخیم‌شده یا پوسته‌ی زیرین تحت فرایند لایه‌لایه شدگی در محیط زمین‌ساختی پس از برخورد منشأ گرفته‌اند و روندهای معینی را نشان می‌دهند. از سمت شمال به جنوب، محتوای  $\text{SiO}_2$  و  $\text{Sr/Y}$  کاهش یافته؛ در حالی که مقادیر  $\text{Y}$  و  $\text{Rb}$  افزایش نسبت  $\text{Sr/Y}$  کاهش یافته؛ در عوض مثال (LILE/HFSE)، (به عنوان مثال  $\text{La/Nb}$  و  $\text{Ba/Nb}$ ،  $\text{Sr/Nb}$ ) و (بالا) مشابه نمایش تغییرات اجزای مربوط به فرورانش استفاده شده است. برای نمایش تغییرات اجزای مربوط به فرورانش استفاده شده است. به طور کلی، این نسبت‌ها به سمت شمال‌شرق کاهش می‌یابد. نمونه‌هایی مانند پیرونج که در قسمت شمال‌شرقی واقع شده‌اند، نسبت‌های  $\text{La/Nb}$ ،  $\text{Sr/Nb}$  و  $\text{Ba/Nb}$  کمتری را (به ترتیب ۳۹ تا ۵۰، ۸۲ تا ۴۹، ۲/۸ تا ۲/۴) نسبت به نمونه‌های مانند سنگ رهوزگ که در قسمت جنوب‌غربی (به ترتیب ۳۸ تا ۷۸، ۹۰ تا ۱۴۶، ۳ تا ۴/۱) نشان می‌دهند. این روند شیوه به آن چیزی است که توسط سعادت و استرن (Saadat and Stren, 2016) برای سنگ‌های آتشفسانی پالاؤژن در شمال-مرکز بلوک لوت پیشنهاد شده است. روند تغییرات LILE/HFSE به عنوان نشانه‌ای از کاهش اثرهای فرایند فرورانش از سمت جنوب-جنوب‌غرب به سمت شمال-شمال‌شرق در بلوک لوت مدنظر قرار می‌گیرد (Saadat and Stren, 2016).

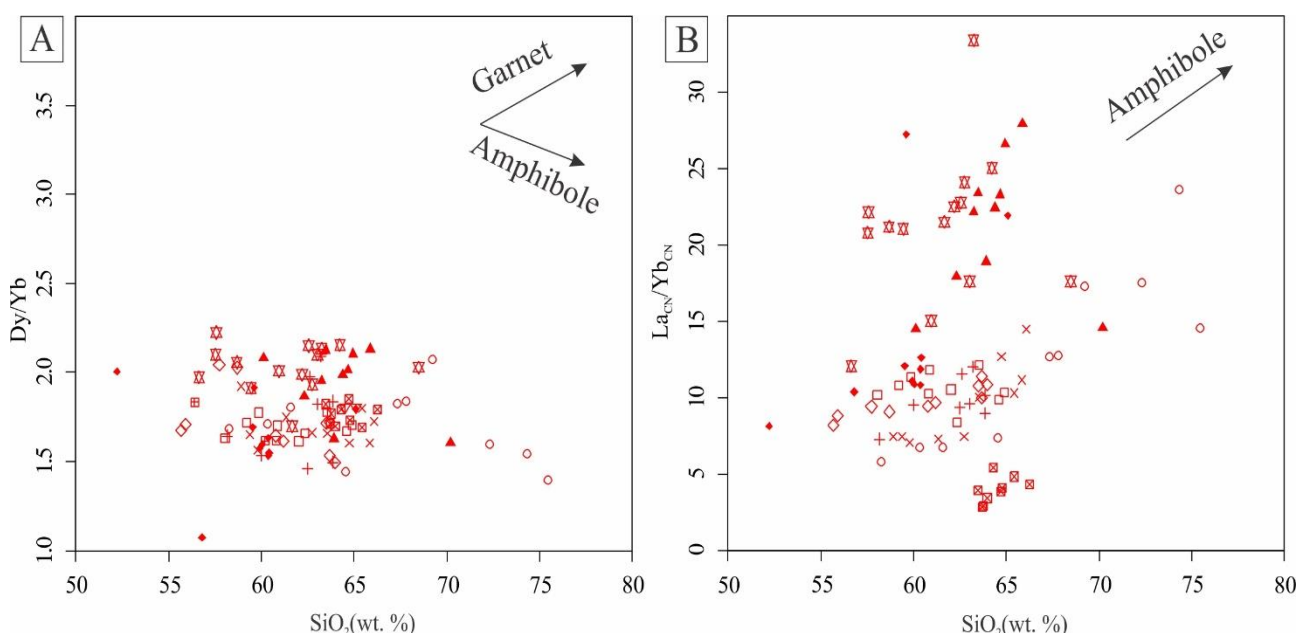
آدکیت‌های شادان، سنگ رهوزگ، گارجگان و خوسف در بیشتر نمونه‌ها دارای نسبت  $\text{Ce/Yb} < 30$  هستند که نشان‌دهنده فرورانش مرتبط با کمان قاره‌ای غنی شده است، به جز برخی از نمونه‌های خوسف و سنگ رهوزگ که حاوی  $\text{Ce/Yb} > 73$  هستند. سنگ‌هایی که پیامد ذوب بخشی پوسته زیرین ضخیم‌شده هستند، معمولاً  $\text{MgO} \neq \text{MgO}$  کم (ممکن‌آمد از ۴۵) دارند (Rapp et al., 1991). آدکیت‌های تشکیل شده از ذوب بخشی پوسته پایینی مانند سنگ رهوزگ حاوی  $\text{K}_2\text{O}$  نسبتاً بالایی (۳~۸ درصد وزنی) و  $\text{Th}$  (۱۰ تا ۲۰ گرم در تن) هستند (Wang et al., 2006).

آدکیت‌های پیرونج در مرز مشترک بین لبه شمال‌غربی زون سیستان و مرز بلوک لوت قرار دارند. این واحدهای سنگی نیز با توجه به ویژگی‌های زمین‌شیمیایی از ذوب بخشی پوسته زیرین تشکیل شده‌اند که پس از برخورد صفحه‌های افغان و لوت اتفاق افتاده است (Pang et al., 2013). برخی از آدکیت‌های تیغناپ (الیگو-میوسن) و گرانیتوئیدهای بی‌بی مریم (پالاؤسن) نسبت  $\text{K}_2\text{O}/\text{Na}_2\text{O}$  بین (۰/۱ تا ۰/۴) و  $\text{MgO}$  بین (۰/۹ تا ۰/۵) درصد  $\text{Th/Ce} < 0/۹$ ،  $\text{Th} < ۰/۹$  تا  $۰/۵$  گرم در تن) و  $\text{Th/U} < ۰/۱$  مشابه آدکیت‌های ناشی از فرورانش پوسته اقیانوسی و محیط زمین‌ساختی پیش از برخورد صفحه را نشان می‌دهند (شکل A-۸). نمونه‌های تیغناپ حاوی  $\text{Rb/Ba} < ۰/۱$  و  $\text{Nb/U} \sim ۴$  است که مشابه ماقمایی است که از پوسته زیرین منشأ می‌گیرد و ترکیب خاستگاه شیوه به هورنبلند اکلوژیت یا گارنت آمفیبولیت است (شکل A-۸). بر اساس نظر دلاوری و همکاران (Delavari et al., 2014)، آدکیت بی‌بی مریم در یک کمان اقیانوسی قبل از ضخیم‌شدن پوسته ناشی از برخورد قاره‌ای ناحیه زمین درز سیستان تشکیل شده است. همبستگی منفی بین نسبت‌های  $\text{Dy/Yb}$  و  $\text{SiO}_2$  نشان می‌دهد که آمفیبول نقش مهم‌تری نسبت به گارنت در مذاب تولید کننده HSA در بیشتر آدکیت‌های بخش‌های مرکزی شرق ایران ایفا می‌کند (Davidson et al. 2013). لذا



شکل ۸: A: نمودار نسبت Th/Ce در مقابل Th برای سنگ‌های آدکیتی شرق ایران (Wang et al., 2006) و B: نمودار  $(\text{La}/\text{Yb})_{\text{N}}$  در مقابل  $\text{Yb}_{\text{N}}$  (Defant and Drummond, 1990)

**Fig. 8.** A: Th/Ce versus Th diagram for the Eastern Iran adakite rocks (Wang et al., 2006), and B:  $(\text{La}/\text{Yb})_{\text{N}}$  versus  $\text{Yb}_{\text{N}}$  diagram (Defant and Drummond, 1990)



شکل ۹: نمودار توزیع A:  $\text{SiO}_2$  در مقابل  $\text{Dy}/\text{Yb}$  و B:  $\text{SiO}_2$  در مقابل  $\text{La}_{\text{CN}}/\text{Yb}_{\text{CN}}$  در سنگ‌های آدکیتی بخش مرکزی. CN مقدار بهنجارسازی نسبت به کندریت از بوینتون (Boynton, 1984). راهنمای مشابه شکل ۲ است.

**Fig. 9.** Distribution plot of A:  $\text{SiO}_2$  vs.  $\text{Dy}/\text{Yb}$ , and B:  $\text{SiO}_2$  vs.  $\text{La}_{\text{CN}}/\text{Yb}_{\text{CN}}$  in adakite rocks of central part (CN Chondrite-normalized values from (Boynton, 1984). Legends as figure 2.

بسته شدن نهایی آنها صورت گرفته است.

بر اساس بررسی‌های اعتمادی و کریم پور (Etemadi and Karimpour, 2022)، بیشتر ذخایر مس پورفیری ایران که می‌توانند در رده جهانی قرار گیرند، در محیط‌های تکتونوماگماتیک مربنده ارسباران در شمال‌غرب، بخش‌های مرکزی و جنوبی کمرنده ارومیه – دختر در غرب و جنوب‌غرب و بلوک لوت در شرق ایران واقع شده‌اند. واقعیت این است که با وجود پژوهش‌های ارزشمندی که در رابطه با تعیین سن و منشأ کانی‌سازی‌های مختلف در کمرندهای تکتونوماگماتیک شمال‌غرب و ارومیه – دختر انجام شده است، اطلاعات موجود در خصوص قابلیت‌های کانه‌زایی و ذخایر نهفته در شرق ایران بسیار محدود است.

در شمال‌غرب ایران سن کانسارهای پورفیری مس اواخر الیکوسن تا اوایل میوسن، در بخش‌های میانی کمرنده ارومیه دختر، این نوع کانسارها متعلق به اوایل میوسن و در منطقه کرمان، اغلب از اوایل (Aghazadeh et al., 2015)؛ تا اواخر میوسن گزارش شده است (Etemadi and Karimpour, 2022) و اعتمادی و کریم پور (Malekzadeh Shafaroudi et al., 2015) اشاره کردند، تغییرات زمانی در شکل‌گیری این توده‌ها می‌تواند ناشی از فرایندهای زمین‌ساختی متفاوت و زمان برخورد صفحه‌های لوت و افغان (پالئوسن – ائوسن میانی) در شرق و برخورد صفحه‌های عربستان و ایران مرکزی در ائوسن پایانی و ضخیم شدن پوسته و ماگماتیسم هم‌زمان و یا پس از برخورد در این مناطق باشد. بود و یا نبود کانی‌سازی در مقیاس‌های مختلف نیز می‌تواند به منشأ ماگما و فرایندهای بعدی که ماگما در حین جایگزینی متحمل می‌شود و همچنین باز یا بسته‌بودن سامانه ماگماتیک مولد کانی‌سازی مرتبط باشد (Shafiei et al., 2009).

کانسارها پورفیری گزارش شده شرق ایران، ذخایر شادان، چاه

آداسیت‌های بخش جنوبی (شکل ۱-D)، بر خلاف آداسیت‌های دیگر بخش‌های شرق ایران، محتوای  $\text{SiO}_2$  کمتر؛ اما  $\text{MgO}$  و  $\text{K}_2\text{O}$  بالاتری را نشان می‌دهند. محتوای  $\text{O}$  بالا در این سنگ‌های نیاز به فازهای پتابسیم (قدسیات پتابسیم یا فلوگوپیت) در سنگ‌های Boomeri et al., 2020b; Javan Khosh Kholgh (et al., 2017) منشأ دارد. محتوای  $\text{MgO}$  در برخی نمونه‌های ملک سیاه کوه به طور کلی بالاتر از آن چیزی است که برای HSA تعریف شده است. مقدار بیشتر  $\text{MgO}$  و  $\text{Cr}$  در HSA (در مقایسه با مذاب‌های تجربی) به دلیل برهم‌کنش مذاب با پریدوتیت گوشته است (Rapp et al., 1991).

نمونه‌های مربوط به شهرسواران، کارواندر و تفتان (کواترنر) در کمرنده زمین‌ساختی فعال مکران قرار دارند. این سنگ‌ها از برخی جهت‌ها شیوه آداسیت‌ها بوده؛ اما از نظر محتوای  $\text{Rb}$  کمی متفاوت هستند (Biabangard and Moradian, 2009) از نمونه‌ها از ملک سیاه کوه بر روی منطقه مشترک آداسیت‌های مشتق شده از پوسته اقینوسی فرورانش شده و آداسیت‌های مشتق از پوسته زیرین قرار می‌گیرند. خاستگاه مشابه ۱۰ تا ۱۵ درصد ذوب‌بخشی گارتنت آمفیولیت است. رفتار عناصر کمیاب نشان‌دهنده ادغام مواد مرتبط با فرورانش از فرورانش قبلی در ناحیه منبع گوشته است (Boomeri et al., 2020a).

ارتباط ماگماتیسم آداسیتی با کانی‌سازی در شرق ایران توانایی کانی‌سازی و ارتباط ژنتیکی نزدیک برخی از آداسیت‌ها با ذخایر مس – طلا و مس – مولیبدن پورفیری در بسیاری از Thiéblemont et al., 1997; Sajona and Maury, 1998; Li et al., 2011; Richards et al., 2012; Zhang et al., 2021 نشان می‌دهد یک رابطه زمانی – مکانی بین آداسیت‌ها و نهشته‌های مس پورفیری و / یا ذخایر طلا – مس اپی‌ترمال در سطح جهانی وجود دارد (Aghazadeh et al., 2015). کانی‌سازی پورفیری در ایران به طور عمده در طی تکامل شاخه‌های اقینوس نتوتیس و

ماگماتیسم آداسیتی، پنجره‌ای بر تحولات زمین‌ساختی و کانی‌سازی در شرق ایران (Kheirkhah et al., 2020) آداسیت‌هایی که آمفیبول در پتروژنر آنها نقش اصلی دارد، به وضوح با کانی‌سازی اقتصادی مس پورفیری مرتبه هستند و آداسیت‌هایی که از نظر شیمیایی توسط گارنت به عنوان منشأ یا فاز تفریقی کنترل می‌شوند، اغلب عقیم هستند. به ندرت نمونه‌های دارای ذخیره اقتصادی با ویژگی گارنت (Sm/Yb بالا) گزارش شده است (Shafiei et al., 2009). در آداسیت‌های مورد بررسی تغییرات نسبت‌های La<sub>N</sub>/Sm<sub>N</sub> و Dy<sub>N</sub>/Yb<sub>N</sub> به ترتیب ۱/۷ تا ۱۰/۷ (میانگین ۴/۵) و ۰/۷ تا ۲/۵ (میانگین ۱/۲) است. بر این اساس بیشتر آداسیت‌های مورد بررسی به جز برخی آداسیت‌هایی که تغییرات نسبت‌های La<sub>N</sub>/Sm<sub>N</sub> کمتر از ۴ و Dy<sub>N</sub>/Yb<sub>N</sub> کمتر از ۱/۱ نشان می‌دهند، توانایی کانی‌سازی را دارند. بر اساس پژوهش کریمپور و صادقی (Karimpour and Sadeghi, 2019)، عواملی همچون گرادیان حرارتی اسلب فرورونده، مقدار آب، عمق دهیدراسیون، سنگ منشأ و درجه ذوب‌بخشی اسلب، در باروری، اندازه و بزرگی ذخایر کانسارهای مس پورفیری مؤثر هستند. بر همین اساس، مقایسه فرایندهای مختلف زمین‌شیمیایی در تشکیل کانی‌سازی از نوع پورفیری نشان می‌دهد که در کنار عوامل ذکر شده، منع فلزی عاملی مهم در تشکیل ذخایر اقتصادی مس پورفیری در کمربنده ارومیه دختر در مقایسه با ناحیه لوت است (Etemadi and Karimpour, 2022).

ذوب‌بخشی در شرایط احیایی به Eu/Eu<sup>\*</sup> کمتر از ۷/۰ منجر می‌شود (Karimpour et al., 2021). بررسی وضعیت اکسایش آداسیت‌های مورد بررسی در نمودار Eu/Eu<sup>\*</sup> در مقابل (La/Yb) (یانگر آن است که بیشتر نمونه‌های مورد بررسی در شرایط اکسیدان قرار دارند (شکل A-۱۰)). ذوب‌بخشی در شرایط اکسیدان، عامل مثبتی برای ورود مس به ماگماست (Karimpour et al., 2021). چنان‌که اشاره شد، منشأ ماگما در بیشتر آداسیت‌های مورد بررسی از ۱۰ تا ۲۰ درصد ذوب‌بخشی منبع با ترکیب گارنت آمفیبولیت مطابقت دارد.

زاغو و ماهرآباد و نیز چند محدوده اکتشافی با پتانسیل پورفیری از جمله شیخ‌آباد را شامل می‌شوند. بر اساس مطالعات کریم‌پور و همکاران (Karimpour et al., 2011)، ریچاردز و همکاران (Richards et al., 2012) و ملک‌زاده شفارودی و همکاران (Malekzadeh Shafaroudi et al., 2015) این توده‌های پورفیری ماهیت کالک‌آلکالن تا کمی شوشوونیتی با ویژگی‌های ماگماتی مرتبه با قوس و تمایل به طبیعت آداسیتی را نشان می‌دهند. توده پورفیری شادان سن Ar-Ar برابر با ۰/۲۶ ± ۳۷/۲۶ میلیون سال قبل را نشان می‌دهد (Richards et al., 2012) که مربوط به اوخر اتوسن است، تعیین سن به کمک زیرکن از ذخایر پورفیری کانه‌دار ماهرآباد نیز سن U-Pb برابر با ۰/۸ ± ۳۹/۰ سال را بیان می‌کند (Malekzadeh Shafaroudi, 2009).

داده‌های مورد بررسی و نتایج ارائه شده در این پژوهش نشان می‌دهد که حضور آداسیت‌هایی که واجد ویژگی‌های همراهی با کانه‌زایی هستند، در بخش‌های شمال‌شرق ایران منتبه به ذوب‌بخشی پوسته اقیانوسی طی فروزانش شاخه شمالی نتویس است و واحدهای آداسیتی معروف شده در بخش‌های مرکزی و جنوبی در شرق ایران نیز اغلب ویژگی آداسیت‌های پس از برخورد را نشان می‌دهند و اغلب توانایی لازم را برای نقش‌آفرینی در تشکیل ذخایر ارزشمند دارند. به طور کلی، این آداسیت‌ها اغلب نشان‌دهنده تبلور از ماگمای فلزیک بارور، اکسید شده و آبدار هستند که از نظر ترکیبی می‌توانند با مذاب‌های آداسیت غنی از فلز و حوزه‌های اصلی Cu–Au پورفیری و ایچی‌ترمال جهان قابل قیاس باشند.

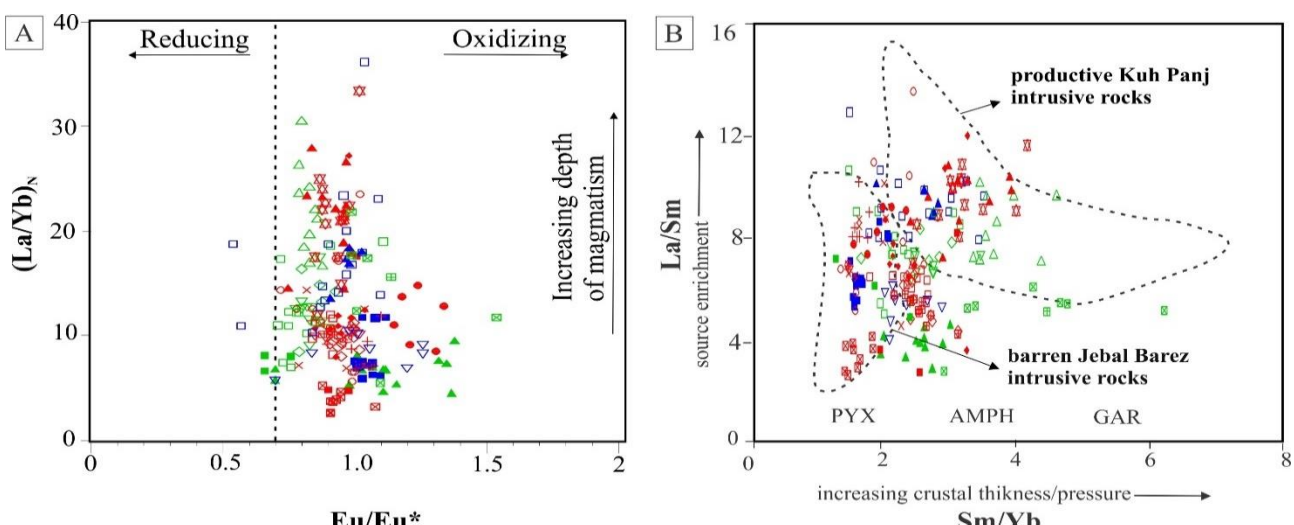
تغییرات نسبت‌های Sm/Dy و La/Yb در آداسیت‌ها به عنوان یک نشانه زمین‌شیمیایی برای توانایی کانی‌سازی در نظر گرفته شده است. چنان‌که به طور مثال ریچاردز و همکاران (Richards et al., 2012)، نسبت‌های معینی از (La<sub>N</sub>/Sm<sub>N</sub>) و (Dy<sub>N</sub>/Yb<sub>N</sub>) را برای تعیین ماگماتیسم مولد (با مشارکت آمفیبول با مقادیر جزئی گارنت) از عقیم (دخالت مقدار کمی آمفیبول یا بدون آمفیبول) پیشنهاد کرده‌اند. بر اساس پژوهش خیرخواه و همکاران

زمین‌شیمیایی موجود، توجه بیشتر به کانی‌سازی‌های احتمالی همراه با این آدکیت‌ها ضروری است. پراکندگی موقعیت آدکیت‌های مورد بررسی، نسبت به نشانه‌های کانی‌سازی مس- طلا در شرق کشور که بر اساس شواهد صحرایی و یا نقشه‌های زمین‌شناسی شرق ایران تهیه شده، در [شکل A-11](#) ارائه شده است. موقعیت کانی‌سازی‌های مس- طلا به همراه ناهنجاری‌های مغناطیسی ([شکل A-11](#)) و تغییرات ضخامت پوسته ([شکل 11](#) B)، اهمیت این بررسی‌ها را با تأکید بر بررسی‌های ایزوتوپی برای تعیین سن، منشأ و اکتشافات دقیق و هدفمند در شرق ایران، بیش از پیش آشکار می‌سازد.

در صورتی که فوگاسیته اکسیژن نیز بالا باشد، این میزان ذوب‌بخشی اسلب توانایی تولید کانی‌سازی مس پورفیری را دارد ([Karimpour et al., 2021](#)).

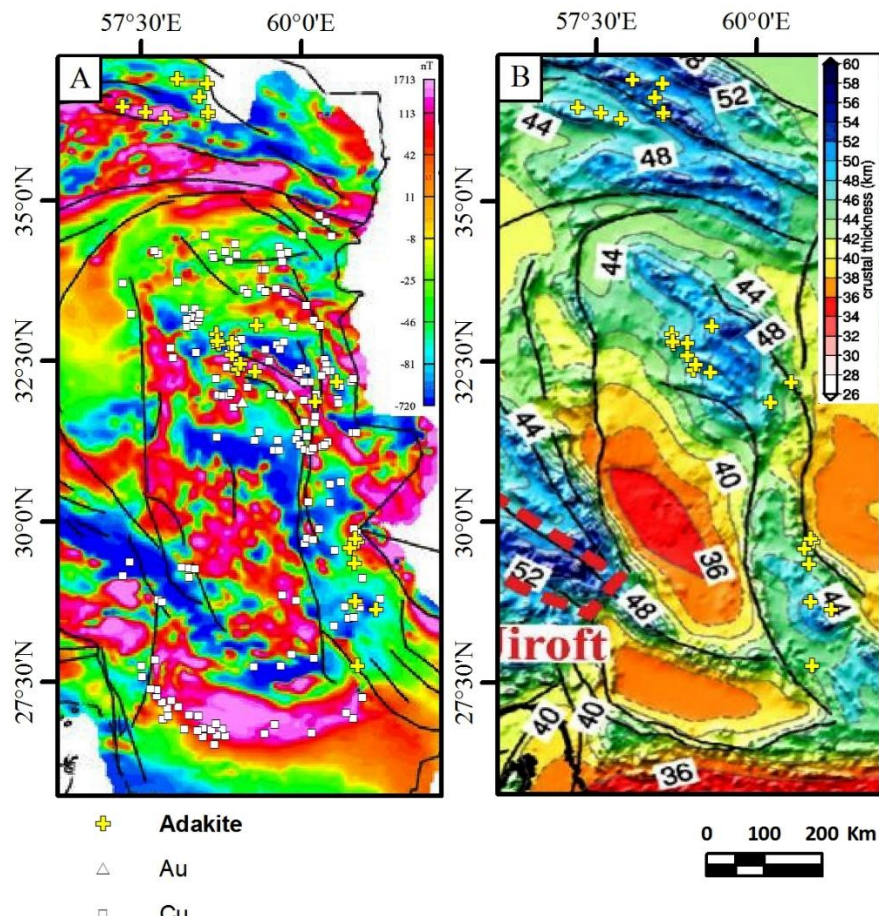
موقعیت نمونه‌های آدکیتی شرق ایران در [شکل B-10](#) که نسبت La/Sm در مقابل Sm/Yb را نشان می‌دهد، همراه با موقعیت توده‌های نفوذی مولد کانی‌سازی مس پورفیری کوه پنج و توده‌های غیرمولد از جبال بارز ([Shafiei et al., 2009](#)) ارائه شده است. چنان‌که در این [شکل مشاهده می‌شود](#)، برخی از نمونه‌های شرق ایران نیز نسبت‌های بالایی از La/Sm و Sm/Yb را نشان می‌دهند که با محدوده توده‌های مولد همخوانی دارد.

از آنجایی که بیشتر پژوهش‌های انجام شده بر این آدکیت‌ها، بر جنبه‌های پترولوجیکی آنها اشاره دارد؛ لذا بر اساس شواهد



**شکل ۱۰.** A: نمودار  $(\text{La}/\text{Yb})_{\text{N}}$  در مقابل  $\text{Eu}/\text{Eu}^*$  (La/Yb) کندریت بهنجارشده نشان‌دهنده وضعیت اکسایش آدکیت‌های مورد بررسی است. خط تقسیم بین ماگمای احیایی و اکسیدان و روند افزایش عمق ماگماتیسم از کریم پور و صادقی ([Karimpour and Sadeghi, 2019](#)) و B: نمودار نسبت‌های Sm/Yb در مقابل La/Sm متبازن‌کننده تغییر فشار در کانی‌شناسی و غنی‌سازی منشأ نمودار پایه و مرزهای کانی‌های باقی‌مانده از کی و مپوزیس Sm/Yb در مقابل La/Sm متمایز کننده PYX: پیروکسن، AMPH: آمفیبول، GAR: گارنت. راهنمایی متشابه [شکل ۸](#) است.

**Fig. 10.** A: Chondrite normalized  $(\text{La}/\text{Yb})_{\text{N}}$  vs.  $\text{Eu}/\text{Eu}^*$  diagram, demonstrating the oxidation state of studied adakites. Dividing line between reducing and oxidizing magma, and trend of increasing the depth of magmatism from [Karimpour and Sadeghi \(2019\)](#), and B: Plot of Sm/Yb vs. La/Sm ratios as discriminants for changing pressure in the source mineralogy and source enrichment. Base diagram and boundaries of residual minerals from [Kay and Mpodozis \(2001\)](#) and dashed lines from [Shafiei et al. \(2009\)](#). PYX: pyroxene, AMPH: amphibole, GAR: garnet. Legends as [figure 8](#).



شکل ۱۱. پراکندگی آدکیت‌های شرق ایران در نقشه‌های A: پراکندگی کانی‌سازی‌های مس–طلای به همراه ناهنجاری‌های مغناطیس هوایی، برگرفته از صالح (Saleh, 2006) و B: تغییرات ضخامت پوسته در زون‌های ساختاری ایران با ترکیب داده‌های ارتفاعی و هندسی (Jim'enez-Munt et al., 2012).

**Fig. 11.** Distribution of Eastern Iran adakites in the maps of A: distribution of copper-gold mineralizations along with aeromagnetic anomalies (after Saleh, 2006), and B: changes of crustal thickness in structural zones of Iran determined by the combining of elevation and geoid data (Jim'enez-Munt et al., 2012).

دارای  $\text{SiO}_2$ ,  $\text{MgO}$ ,  $\text{Th}/\text{Ce}$ ,  $\text{Th}/\text{Yb}$  کمتر و محتوای کروم، نیکل و  $\text{Au}$  نسبتاً بالاتری بوده و منتبه به ذوب بخشی پوسته اقیانوسی شاخه‌هایی از نفوذیتیس است.

بیشتر سنگ‌های آدکیتی در بخش‌های مرکزی و جنوبی در شرق ایران اغلب ویژگی آدکیت‌های پس از برخورد را نشان می‌دهند. بیشتر نمونه‌ها  $\text{Ce}/\text{Yb} < 30$  دارند که فرورانش مرتبط با کمان قاره‌ای غنی شده پس از برخورد از منع حدود ۱۰ تا ۲۰ درصد

### نتیجه‌گیری

سنگ‌های آدکیتی گزارش شده از شمال شرقی تا جنوب شرقی ایران از نوع آدکیت‌های سیلیس بالا هستند. غالباً ترکیب سنگ‌های آتش‌فشاری آدکیتی در سبزوار، رویلت- داسیت- آندزیت و در بخش مرکزی از نوع آندزیت است. نتایج بررسی‌های زمین‌شیمیابی نشان می‌دهد که آدکیت‌های HSA بخش شمالی (شمال شرق ایران) در مقایسه با سایر آدکیت‌ها

کانی‌سازی‌های مس- طلا هستند و اغلب توانایی لازم را برای نقش‌آفرینی در تشکیل ذخایر متنوع و ارزشمند دارند.

### تعارض منافع

هیچ گونه تعارض منافعی توسط نویسنده بیان نشده است.

### قدردانی

از سردبیر و داوران محترم نشریه زمین‌شناسی اقتصادی که با نظرهای ارزشمند خود در ارتقای محتواهای علمی این مقاله یاری نمودند، قدردانی می‌شود.

گارنت آمفیبولیت را نشان می‌دهند. نسبت‌های  $\text{Ba}/\text{Nb}$ ,  $\text{Sr}/\text{Nb}$  و  $\text{La}/\text{Nb}$  در جهت شمال‌شرق کاهش می‌یابد که می‌تواند نشانه‌ای از کاهش اثرهای فرایند فروراش از سمت جنوب-جنوب‌غرب به سمت شمال- شمال‌شرق در بلوك لوت باشد.

سنگ‌های آدکیتی بخش جنوبی (جنوب‌شرق ایران) در مقایسه با سایر آدکیت‌های مورد بررسی،  $\text{SiO}_2$  کمتری دارند؛ اما مقدار  $\text{Th}/\text{Ce}$  و  $\text{Sr}/\text{MgO}$  بیشتری نشان می‌دهند. سنگ‌های مورد بررسی در گروه آدکیت‌های پس از برخورد قرار می‌گیرند که اغلب از ذوب پوسته ضخیم شده زیرین ایجاد شده‌اند.

داده‌های مورد بررسی و نتایج ارائه شده در این پژوهش نشان می‌دهد که آدکیت‌های شرق ایران دارای ویژگی‌های همراهی با

1. Heavy Rare Earth Elements (HREEs)
2. High Field Strength Elements (HFSE)
3. High- $\text{SiO}_2$  Adakites (HSA)
4. Low- $\text{SiO}_2$  Adakites (LSA)
5. Jamaican-Type Adakites (JTA)
6. Sistan suture zone
7. Sonmiani
8. Loss on ignition (LOI)

## References

- Aboutalebi, A., Mohammadi, S.S. and Zarinkoub, M.H., 2016. Geochemistry and tectonic setting of Tertiary volcanic rocks from Garjgan area (southwest of Birjand). *Iranian Journal of Petrology*, 7(25): 139–156. (in Persian with English abstract)  
<https://doi.org/10.22108/ijp.2016.20837>
- Aghabazaz, F., 2012. Petrogenesis of the calc-alkaline and Adakitic volcanic rocks of North Firuzeh, West Neyshabur. M.Sc. Thesis, Tarbiat Modares University, Tehran, Iran, 103 pp. (in Persian with English abstract)
- Aghazadeh, M., Hou, Z., Badrzadeh, Z. and Zhou, L., 2015. Temporal-spatial distribution and tectonic setting of porphyry copper deposits in Iran: constraints from zircon U-Pb and molybdenite Re-Os geochronology. *Ore Geology Reviews*, 70: 385–406.  
<http://dx.doi.org/10.1016%2Fj.oregeorev.2015.03.003>
- Alirezaei, A., Arvin, M. and Dargahi, S., 2017. Adakite-like signature of porphyry granitoid stocks in the Meiduk and Parkam porphyry copper deposits NE of Shahr-e-Babak Kerman Iran: constraints on geochemistry. *Ore Geology Reviews*, 88: 370–83.  
<https://doi.org/10.1016/j.oregeorev.2017.04.023>
- Biabangard, H. and Moradian, A., 2009. Geochemical and petrographic study of common minerals in the Taftan volcanic Rocks. *Iranian Journal of Crystallography and Mineralogy*, 17(2): 187–202. (in Persian with English abstract) Retrieved September 19, 2021 from <http://ijcm.ir/article-1-580-en.html>
- Boomeri, M., Moradi, R. and Bagheri, S., 2020a. Petrology and origin of the Lar igneous complex of the Sistan suture zone, Iran. *Geologos*, 26(1): 51–64.  
<https://doi.org/10.2478/logos-2020-0004>
- Boomeri, M., Naruyi, S. and Ghodsi, M., 2020b. Petrography and geochemistry of igneous rocks and Pb mineralization in Chasorbi area, south of Zahedan, southeastern Iran. *Scientific Quarterly Journal of Geosciences*, 29(116): 3–14.  
<https://doi.org/10.22071/gsj.2019.135671.1490>
- Boynton, W.V., 1984. Geochemistry of the rare earth elements: meteorite studies. In: P. Henderson (Editor), *Rare Earth Element Geochemistry*. Elsevier, Amsterdam, pp. 63–114.
- <http://dx.doi.org/10.1016/B978-0-444-42148-7.50008-3>
- Camp, V.E. and Griffis, R.J., 1982. Character, Genesis and Tectonic Setting of Igneous Rocks in the Sistan Suture Zone, Eastern Iran. *Lithos*, 15(3): 221–329.  
[https://doi.org/10.1016/0024-4937\(82\)90014-7](https://doi.org/10.1016/0024-4937(82)90014-7)
- Castillo, P.R., 2012. Adakite Petrogenesis. *Lithos*, 134–135: 304–316.  
<https://doi.org/10.1016/j.lithos.2011.09.013>
- Condie, K., 2005. TTGs and adakites: Are they both slab melts? *Lithos*, 80(1–4): 33–44.  
<https://doi.org/10.1016/j.lithos.2003.11.001>
- Daryapeyma Hormozi, M., Biabangard, H., Bagheri, S. and Bakhshi Mohebi, M.R., 2016. Petrology and geochemistry of Dasht Kuh volcanic rocks in North of Iranshahr, East of Iran flysches terrain. *Scientific Quaterly Journal of Geoscience*, 25 (99):227–238. (in Persian with English abstract)  
<https://doi.org/10.22071/gsj.2016.40914>
- Davidson, J., Turner, S. and Plank, T., 2013. Dy/Dy\*: Variations Arising from Mantle Sources and Petrogenetic Processes. *Journal of Petrology*, 54(3): 525–537.  
<https://doi.org/10.1093/petrology/egs076>
- Defant, M.J. and Drummond, M.S., 1990. Derivation of some modern arc magmas by melting of young subducted lithosphere. *Nature*, 347(6294): 662–665.  
<https://doi.org/10.1038/347662a0>
- Delavari, M., Amini, S., Schmitt, A.K., McKeegan, K.D. and Harrison, T.M., 2014. U-Pb geochronology and geochemistry of Bibi-Maryam pluton, eastern Iran: Implication for the late stage of the tectonic evolution of the Sistan Ocean. *Lithos*, 200–201: 197–211.  
<https://doi.org/10.1016/j.lithos.2014.04.015>
- Delavari, M. and Shakeri, A. 2016. Taftan volcanic rocks: implication for adakitic magmatism of Makran magmatic arc. *Quaternary Journal of Iran*, 2(1):1–14. (in Persian with English abstract) Retrieved September 19, 2021 from <http://journal.iranqua.ir/article-1-49-en.html>
- Drummond, M.S., Defant, M.J. and Kepezhinskas, P.K., 1996. Petrogenesis of slab-derived trondjemite-tonalite-dacite/adakite magmas. *Earth and Environmental Science Transactions of The Royal Society of Edinburgh*, 87(1–2): 205–215.

- <https://doi.org/10.1017/s0263593300006611>
- Etemadi, A. and Karimpour, M.H., 2022. Geological constraints on magmatic evolution in subduction zones and cumulative factors effective on the fertility of Cenozoic host porphyritic rocks associated with major porphyry copper deposits in the Lut Block and Kerman porphyry copper belt, Iran. *Journal of Asian Earth Sciences*, X, 7: 100081.  
<https://doi.org/10.1016/j.jaesx.2022.100081>
- Fazelvalipour, M.E. 2021. Petrography, geochemistry and petrogenesis of high-silica Adakitic rocks from Bayram Abad area in the northwest Neyshabour (Northeast of Iran). *Petrological Journal*, 12(1):113–134. (in Persian with English abstract)  
<https://doi.org/10.22108/ijp.2021.124930.1200>
- Gardideh, S., Ghasemi, H. and Sadeghian, M., 2018. U-Pb age dating on zircon crystals, Sr-Nd isotope ratios and geochemistry of Neogene adakitic domes of Quchan-Esfarayen magmatic belt, NE Iran. *Iranian Journal of Crystallography and Mineralogy*, 26(2): 455–478. (in Persian with English abstract) Retrieved September 19, 2021 from  
<http://ijcm.ir/article-1-1110-en.html>
- Ghasemi, H., Sadeghian, M., Khanalizadeh, A. and Tanha, A., 2010. Petrology, geochemistry and radiometric ages of high silica adakitic domes of Neogene continental arc, south of Quchan. *Iranian Journal of Crystallography and Mineralogy*, 18(3): 347–370. (in Persian with English abstract) Retrieved September 19, 2021 from  
<http://ijcm.ir/article-1-505-en.html>
- Gholami, A.A., Mohammadi, S.S. and Zarrinkoub, M.H., 2016. Petrography, mineral chemistry of tourmaline, geochemistry and tectonic setting of Tertiary igneous rocks in Shurab area (west of Khusf), Southern Khorasan. *Iranian Journal of Crystallography and Mineralogy*, 24(1):189–204. (in Persian with English abstract) Retrieved September 19, 2021 from  
<http://ijcm.ir/article-1-127-fa.html>
- Ghorbani, M.R. and Bezenjani, R.N., 2011. Slab partial melts from the metasomatizing agent to adakite Tafresh Eocene volcanic rocks Iran. *Island Arc*, 20(2): 188–202.  
<https://doi.org/10.1111/j.1440-1738.2010.00757.x>
- Hastie, A.R., Fitton, J.G., Bromiley, G.D., Butler, I.B. and Odling, N.W.A., 2016. The origin of Earth's first continents and the onset of plate tectonics. *Geology*, 44(10): 855–858.  
<https://doi.org/10.1130/g38226.1>
- Hastie, A.R., Kerr, A.C., McDonald, I., Mitchell, S.F., Pearce, J.A., Millar, I.L., Barfod, D. and Mark, D.F., 2010. Geochronology, geochemistry and petrogenesis of rhyodacite lavas in eastern Jamaica: A new adakite subgroup analogous to early Archaean continental crust. *Chemical Geology*, 276(3–4): 344–359.  
<http://doi.org/10.1016/j.chemgeo.2010.07.002>
- Jahangiri, A., 2007. Post-collisional Miocene adakitic volcanism in NW Iran: geochemical and geodynamic implications. *Journal of Asian Earth Sciences*, 30(3–4): 433–47.  
<https://doi.org/10.1016/j.jseae.2006.11.008>
- Jamali, H. and Mehrabi, B., 2015. Relationships between arc maturity and Cu–Mo–Au porphyry and related epithermal mineralization at the Cenozoic Arasbaran magmatic belt. *Ore Geology Reviews*, 65(Part 2): 481–501.  
<https://doi.org/10.1016/j.oregeorev.2014.06.017>
- Jamshidi, K., Ghasemi, H., Laicheng, M. and Sadeghian, M., 2018. Adakite magmatism within the Sabzevar ophiolite zone NE Iran: U-Pb geochronology and Sr-Nd isotopic evidences. *Geopersia*, 8(1): 111–30.  
<https://doi.org/10.22059/geope.2017.242944.648352>
- Javan Khosh Kholgh, M., Razmara, M. and Arian, M.A., 2017. Petrogenesis and Metallogenesis of Malek Siah Kuh Adakite-Like Rocks and Associated Hydrothermal Mineralization (Sistan Area, Iran). *Open Journal of Geology*, 7(11): 1670–1689.  
<https://doi.org/10.4236/ojg.2017.711112>
- Jiménez-Munt, I., Fernández, M., Saura, E., Vergés, J. and García-Castellanos, D., 2012. 3-D lithospheric structure and regional/residual Bouguer anomalies in the Arabia–Eurasia collision (Iran). *Geophysical Journal International*, 190(3): 1311–1324.  
<https://doi.org/10.1111/j.1365-246X.2012.05580.x>
- Kananian, A., Rezaei-Kahkhaei, M. and Esmaeili, D., 2007. Petrology and tectonic setting of

- Lakhshak granodiorite, NW of Zahedan, Iran. *Scientific Quarterly Journal of Geosciences*, 17(65): 126–143. (in Persian with English abstract)  
<https://doi.org/10.22071/gsj.2008.58199>
- Karimpour, M.H., Rezaei, M., Zaravandi, A. and Malekzadeh Shafaroudi, A., 2021. Saveh-Nain-Jiroft Magmatic Belt replaces Urumieh-Dokhtar Magmatic Belt: Investigation of genetic relationship between porphyry copper deposits and adakitic and non-adakitic granitoids. *Journal of Economic Geology*, 13(3): 465–506. (in Persian with English abstract)  
<https://doi.org/10.22067/econg.v13i3.1034>
- Karimpour, M.H. and Sadeghi M., 2019. A new hypothesis on parameters controlling the formation and size of porphyry copper deposits: Implications on thermal gradient of subducted oceanic slab, depth of dehydration and partial melting along the Kerman copper belt in Iran. *Ore Geology Reviews*, 104: 522–539.  
<https://doi.org/10.1016/j.oregeorev.2018.11.022>
- Karimpour, M.H., Stern, C., Farmer, L. and Saadat, S., 2011. Review of age, Rb-Sr geochemistry and petrogenesis of Jurassic to Quaternary igneous rocks in Lut Block, Eastern Iran. *Geopersia*, 1(1): 19–54.  
<https://doi.org/10.22059/jgeope.2011.22162>
- Kay, S.M. and Mpodozis, C., 2001. Central Andes ore deposits linked to evolving shallow subduction systems and thickening crust. *GSA TODAY*, 11(3):4–9. Retrieved September 19, 2022 from  
<https://www.geosociety.org/gsatoday/archive/11/3/pdf/i1052-5173-11-3-4.pdf>
- Ketabi, P., Mohammadi, S. and Zarrinkoub, M., 2015. Geochemistry and Petrogenesis of Tertiary High Silica Adakitic Rocks, Shah Soleiman Ali Area (Southwest of Birjand, East of Iran), *Scientific Quarterly Journal of Geosciences*, 24(95): 373–382.  
<https://doi.org/10.22071/gsj.2015.42486>
- Kheirkhah, M., Neill, I., Allen, M.B., Emami, M.H. and Ghadimi, A.S., 2020. Distinct sources for high-K and adakitic magmatism in SE Iran. *Journal of Asian Earth Sciences*, 196: 104355.  
<https://doi.org/10.1016/j.jseaes.2020.104355>
- Labbaf, H. Mohammadi, S.S. Zarrinkoub, M.H., 2014. Petrology of volcanic rocks in south of Gorong (Northwest of Khousf), Southern Khorasan province. 6<sup>th</sup> Symposium of Iranian Society of Economic Geology, University of Zahedan, Zahedan, Iran. Retrieved September 19, 2020 from  
<https://civilica.com/doc/746761>
- Li, J.X., Qin, K.Z., Li, G.M., Xiao, B., Chen, L. and Zhao, J.X., 2011. Post-collisional orebearing adakitic porphyries from Gangdese porphyry copper belt, southern Tibet: Melting of thickened juvenile arc lower crust. *Lithos*, 126(3–4):265–277.  
<https://doi.org/10.1016/j.lithos.2011.07.018>
- Malekzadeh Shafaroudi, A., 2009. Geology, mineralization, alteration, geochemistry, microthermometry, radiogenic isotopes, petrogenesis of intrusive rocks and determination of source of mineralization in Maherabad and Khopik prospect areas, South Khorasan province. Ph.D. Thesis, Ferdowsi University of Mashhad, Mashhad, Iran, 536 pp. (in Persian with English abstract)
- Malekzadeh Shafaroudi, A.M., Karimpour, M.H. and Stern, C.R., 2015. The Khopik porphyry copper prospect, Lut Block, Eastern Iran: geology, alteration and mineralization, fluid inclusion, and oxygen isotope studies. *Ore Geology Reviews*, 65(Part 2): 522–544.  
<https://doi.org/10.1016/j.oregeorev.2014.04.015>
- Martin, H., 1999. Adakitic magmas: Modern analogues of Archaean granitoids. *Lithos*, 46(3): 411–429.  
[https://doi.org/10.1016/s0024-4937\(98\)00076-0](https://doi.org/10.1016/s0024-4937(98)00076-0)
- Martin, H., Smithies, R.H., Rapp, R., Moyen, J.F. and Champion, D., 2005. An Overview of Adakite, Tonalite-Rondhjemite-Granodiorite (TTG), and Sanukitoid: Relationships and Some Implications for Crustal Evolution. *Lithos*, 79(1–2): 1–24.  
<https://doi.org/10.1016/j.lithos.2004.04.048>
- Middlemost, E.A.K., 1994. Naming materials in the magma/igneous rock system. *Earth Science Review*, 37(3–4): 215–224.  
[https://doi.org/10.1016/0012-8252\(94\)90029-9](https://doi.org/10.1016/0012-8252(94)90029-9)
- Mohammadi, E., Ghorbani, G. and Shafaii Moghadam, H., 2015. Geochemistry and Petrogenesis of the Adakites in the Southern Domains of the Northern Sabzevar Ophiolites;

- With Emphasis on Sr-Nd-Pb Isotopes Results. *Scientific Quarterly Journal of Geosciences*, 24(95): 5162. (in Persian with English abstract)  
<https://doi.org/10.22071/gsj.2015.42381>
- Mohammadi, H.R., Mohammadi, S.S., Nakhaei, M. and Zarrinkoub, M.H., 2017. Petrography and Geochemistry of post-collisional adakites and Nb-enriched basalts association in the Sang-e-Rahuzg area (south of Birjand). *Petrological Journal*, 8(30): 55–80. (in Persian with English abstract)  
<https://doi.org/10.22108/jp.2017.81987>
- Moyen, J.F., 2009. High Sr/Y and La/Yb ratios: The meaning of the adakite signature. *Lithos*, 112(3–4): 556–574.  
<https://doi.org/10.1016/j.lithos.2009.04.001>
- Nakhaei, M. and Mohammadi, S.S., 2021. Petrography, geochemistry and tectonic setting of adakitic bodies in the Tighanab area and their relationship with iron skarn mineralization (southeast of Sarbisheh-east of Iran). *Journal of Economic Geology*, 12(4): 449–470. (in Persian with English abstract)  
<https://doi.org/10.22067/econg.v12i4.81783>
- Nanvabashi, M., 2011. Petrology of volcanic rocks in the Northwest of Shahr-e Firozeh Neishabour. M.Sc. Thesis, Islamic Azad University of Shahrood, Shahrood, Iran, 222 pp. (in Persian with English abstract)
- Omrani, H., 2018. Island-arc and active continental margin adakites from the Sabzevar zone Iran. *Petrology*, 26(1): 96–113.  
<https://doi.org/10.1134/s0869591118010058>
- Omrani, J., Agard, P., Witechurch, H., Benoit, M., Prouteau, G. and Jolivet, L., 2008. Arc magmatism and subduction history beneath the Zagros Mountains Iran: a new report of adakites and geodynamic consequences. *Lithos*, 106(3–4): 380–98.  
<https://doi.org/10.1016/j.lithos.2008.09.008>
- Pang, K.N., Chung, S.L., Zarrinkoub, M.H., Khatib, M.M., Mohammadi, S.S., Chiu, H.Y., Chu, C.H., Lee, H.Y. and Lo, C.H., 2013. Eocene–Oligocene post-collisional magmatism in the Lut–Sistan region, eastern Iran: Magma genesis and tectonic implications. *Lithos*, 180–181: 234–251.  
<http://dx.doi.org/10.1016/j.lithos.2013.05.009>
- Pearce, J.A., Harris, N.B. and Tindle, A.G., 1984. Trace element discrimination diagrams for the tectonic interpretation of granitic rocks. *Journal of Petrology*, 25(4): 956–983.  
<https://doi.org/10.1093/petrology/25.4.956>
- Peccerillo, A. and Taylor, S.R., 1976. Geochemistry of Eocene calc-alkaline volcanic rocks from the Kastamonu area, Northern Turkey. *Contributions to Mineralogy and Petrology*, 58(1): 63–81.  
<https://doi.org/10.1007/bf00384745>
- Ramezani, F., Mohammadi, S.S., and Zarrinkoub, M.H., 2013. Petrography, Geochemistry and tectonic setting of Tertiary Volcanic subvolcanic rocks in Pironj area (North of Birand). 21<sup>st</sup> Symposium of Crystallography & Mineralogy of Iran, University of Zahedan, Zahedan, Iran. Retrieved September 19, 2020 from <https://civilica.com/doc/746543>
- Rapp, R.P., Watson, E.B. and Miller, C.F., 1991. Partial melting of amphibolite/eclogite and the origin of Archean trondhjemites and tonalities. *Precambrian Research*, 51(1–4): 1–25.  
[https://doi.org/10.1016/0301-9268\(91\)90092-o](https://doi.org/10.1016/0301-9268(91)90092-o)
- Rezaei-Kakhkhai, M., Corfu, F., Sheykhi, M., Ghasemi, H. and Shi, Y., 2021. Mineral chemistry and ages of the Eocene Gapdan granitoid pluton and related dykes (Sistan suture zone, eastern Iran): multi-stage emplacement of a zoned pluton during progressive deformation and exhumation. *Journal of Asian Earth Sciences*, 216: 104813.  
<https://doi.org/10.1016/j.jseaes.2021.104813>
- Richards, J.P., Spell, T., Rameh, E., Razique, A., Fletcher, T., 2012. High Sr/Y Magmas Reflect Arc Maturity, High Magmatic Water Content, and Porphyry Cu +/- Mo +/- Au Potential: Examples from the Tethyan Arcs of Central and Eastern Iran and Western Pakistan. *Economic Geology*, 107(2): 295–332.  
<https://doi.org/10.2113/econgeo.107.2.295>
- Rossetti, F., Nasrabad, M., Theye, T., Gerdes, A., Monié, P., Lucci, F. and Vignaroli, G., 2014. Adakite differentiation and emplacement in a subduction channel: The late Paleocene Sabzevar magmatism (NE Iran). *Geological Society of America Bulletin*, 126(3–4): 317–43.  
<https://doi.org/10.1130/b30913.1>
- Saadat, S. and Stern, C.R., 2011. Petrochemistry and genesis of olivine basalts from small monogenetic

- parasitic cones of Bazman stratovolcano, Makran arc, southeastern Iran. *Lithos*, 125(1–2): 607–619.  
<https://doi.org/10.1016/j.lithos.2011.03.014>
- Saadat, S. and Stern, C., 2016. Distribution and geochemical variations among paleogene volcanic rocks from the north-central Lut block, eastern Iran. *Iranian Journal of Earth Sciences*, 8(1): 1–24. Retrieved September 19, 2021 from  
[https://ijes.mashhad.iau.ir/article\\_528684.html](https://ijes.mashhad.iau.ir/article_528684.html)
- Sajona, F.G. and Maury, R.C., 1998. Association of adakites with gold and copper mineralization in the Philippines. *Comptes Rendus de l'Académie des Sciences - Series IIA - Earth and Planetary Science*, 326(1): 27–34.  
[https://doi.org/10.1016/s1251-8050\(97\)83200-4](https://doi.org/10.1016/s1251-8050(97)83200-4)
- Saleh, R., 2006. Reprocessing of aeromagnetic map of Iran. M.Sc. Thesis, Institute for Advanced Studies in Basic Sciences, Zanjan, Iran, 169 pp. (in Persian with English abstract)
- Shafiei, B., Haschke, M. and Shahabpour, J., 2009. Recycling of orogenic arc crust triggers porphyry Cu mineralization in Kerman Cenozoic arc rocks, southeastern Iran. *Mineralium Deposita*, 44(3): 265–283.  
<http://doi.org/10.1007/s00126-008-0216-0>
- Shand, S.J., 1943. *Eruptive Rocks*, John Wiley: New York, NY, USA, 444 pp.  
<http://doi.org/10.1126/science.99.2562.101.b>
- Smith, E.I., Sanchez, A., Walker, J.D., Wang, K., 1999. Geochemistry of mafic magmas in the Hurricane Volcanic field, Utah: implications for small-and large-scale chemical variability of the lithospheric mantle. *The Journal of geology*, 107(4): 433–448.  
<https://doi.org/10.1086/314355>
- Sun, S.S. and McDonough, W.F., 1989. Chemical and isotopic systematics of oceanic basalts: implications for mantle composition and processes. Geological Society, London, Special Publications, 42(1): 313–345.  
<http://dx.doi.org/10.1144/GSL.SP.1989.042.01.19>
- Taheri-Sarteshnizi, A., 2018. *Geochemistry and Isotopic Geology of Dacite Domes of Chakaneh Area*. M.Sc. Thesis, Shahrood University of Technology, Shahrood, Iran, 98 pp. (in Persian with English abstract)
- Tanha, A. 2009. Petrogenesis of Neogene Igneous Rocks in the North Anbarabad (Mashkan). M.Sc. Thesis, Islamic Azad University of Shahrood, Shahrood, Iran, 180 pp. (in Persian with English abstract)
- Tavakoli rad. A., 2013. Petrology and geochemistry of volcanic igneous rocks of Shahsavar Mountain. M.Sc. Thesis, Islamic Azad University of Shahrood, Shahrood, Iran, 164 pp. (in Persian with English abstract)
- Thiéblemont, D., Stein, G. and Lescuyer, J.L., 1997. Epithermal and porphyry deposits: The adakite connection. *Comptes Rendus de l'Académie des Sciences - Series IIA - Earth and Planetary Science*, 325(2): 103–109.  
[https://doi.org/10.1016/S1251-8050\(97\)83970-5](https://doi.org/10.1016/S1251-8050(97)83970-5)
- Tirrul, R., Bell, I.R., Griffis, R.J. and Camp, V.E., 1983. The Sistan Suture Zone of Eastern Iran. *Geological Society of America Bulletin*, 94(1): 134–150.  
[https://doi.org/10.1130/0016-7606\(1983\)94%3C134:tsszoe%3E2.0.co;2](https://doi.org/10.1130/0016-7606(1983)94%3C134:tsszoe%3E2.0.co;2)
- Torkian, A., Furman, T., Salehi, N. and Veloski, K., 2019. Petrogenesis of adakites from the Sheyda volcano NW Iran. *Journal of African Earth Sciences*, 150: 194–204.  
<https://doi.org/10.1016/j.jafrearsci.2018.11.014>
- Torshizi, M., Zarrinkoub, M.H., Mohammadi, S.S. and Rajabi, A.R., 2016. Geochemical study of volcanic rocks in West of Fadeshk (South West of khoosf), East of Iran. 23<sup>rd</sup> Symposium of Crystallography & Mineralogy of Iran, University of Damghan, Damghan, Iran. Retrieved September 19, 2020 from  
<https://www.sid.ir/paper/853535/fa>
- Wang, Q., Xu, J.F., Jian, P., Bao, Z.W., Zhao, Z.H., Li, C.F., Xiong, X.L. and Ma, J.L., 2006. Petrogenesis of adakitic porphyries in an extensional tectonic setting, Dexing, South China: implications for the genesis of porphyry copper mineralization. *Journal of Petrology*, 47(1): 119–144.  
<https://doi.org/10.1093/petrology/egi070>
- Yousefzadeh, M.H., Rahmani, A. and Mohammadi, S., 2019. Petrology and tectonomagmatic setting of volcanic and subvolcanic rocks in the east of Khousf (Southwest of Birjand). *Petrological Journal*, 10(1): 1–22. (in Persian with English abstract)

<https://doi.org/10.22108/ijp.2018.107138.1058>  
Zhang, L., Li, S. and Zhao, Q., 2021. A review of  
research on adakites. International Geology

Review, 63(1): 47–64.  
<https://doi.org/10.1080/00206814.2019.1702592>